

ニュートリノ振動研究の現状と展望

奥村 公宏（東大宇宙線研）

物理学会@宇都宮大学

シンポジウム「地下実験による宇宙・素粒子・原子核研究」

2017年9月12日（火）

Neutrino Oscillation

Current understanding of PMNS matrix:

$$\begin{pmatrix} 1 & 0 & 0 \\ 0 & c_{23} & s_{23} \\ 0 & -s_{23} & c_{23} \end{pmatrix} \begin{pmatrix} c_{13} & 0 & s_{13}e^{-i\delta} \\ 0 & 1 & 0 \\ -s_{13}e^{i\delta} & 0 & c_{13} \end{pmatrix} \begin{pmatrix} c_{12} & s_{12} & 0 \\ -s_{12} & c_{12} & 0 \\ 0 & 1 & 0 \end{pmatrix}$$

Atmospheric, LBL

$$\Delta m_{32}^2 \simeq 2.4 \times 10^{-3} \text{ eV}^2$$

$$\sin^2 \theta_{23} = 0.4 \sim 0.6$$

Reactor, LBL

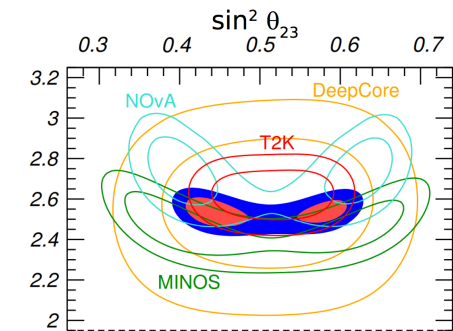
$$\sin^2 \theta_{13} \simeq 0.021$$

Solar, KamLAND

$$\Delta m_{21}^2 \simeq 7.5 \times 10^{-5} \text{ eV}^2$$

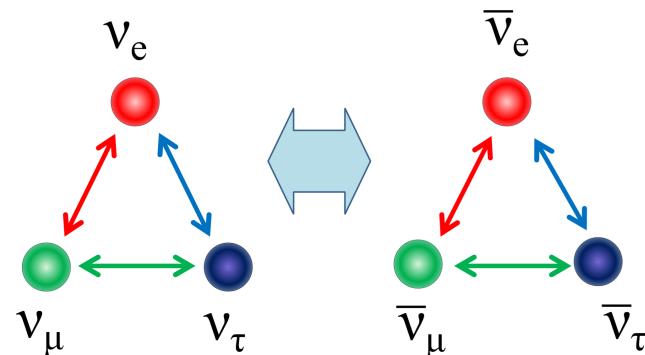
$$\sin^2 \theta_{12} \simeq 0.30$$

Others:



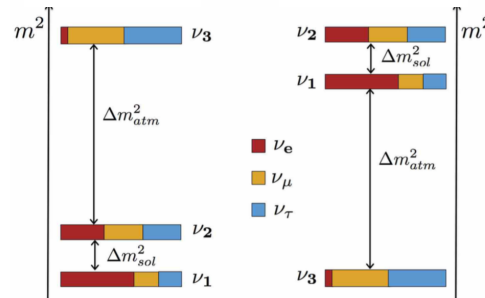
θ_{23} Octant

Still unknown:

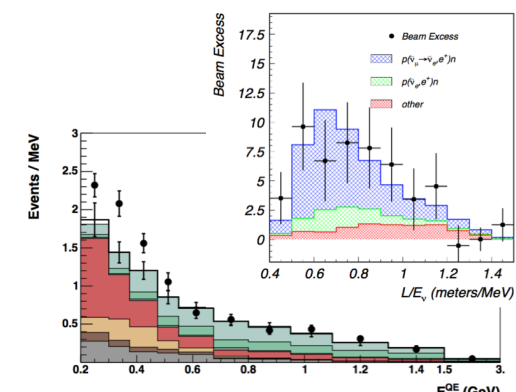


Leptonic CP (δ_{CP})

Normal
($\Delta m^2_{32} > 0$) Inverted
($\Delta m^2_{32} < 0$)



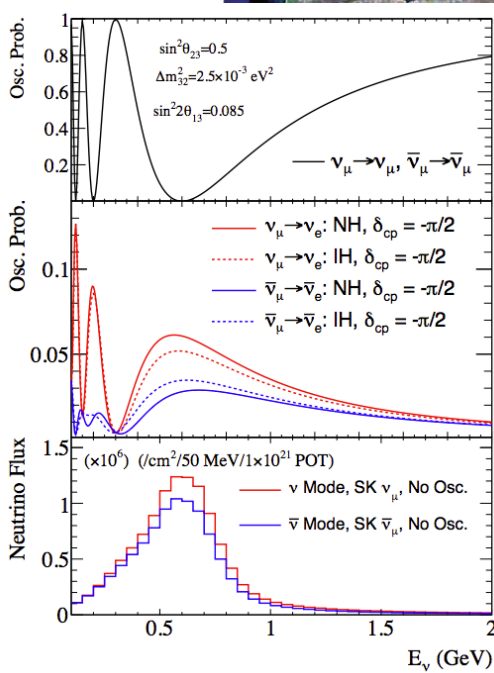
Mass Hierarchy
(Mass Ordering)



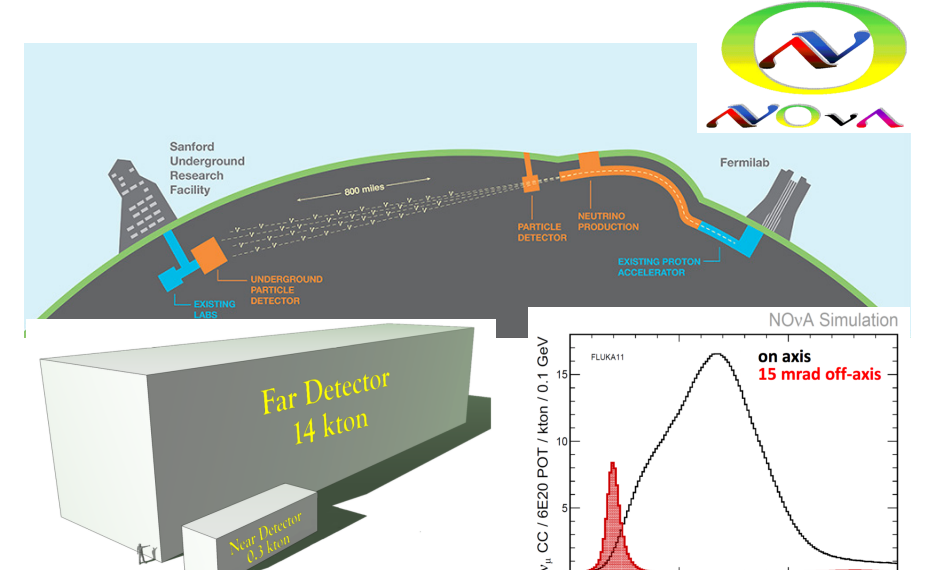
Sterile

加速器ニュートリノによるニュートリノ振動測定：

1. Δm_{32}^2 and θ_{23} by ν_μ disappearance
2. θ_{13} and δ_{CP} by $P(\nu_\mu \rightarrow \nu_e)$ and $P(\bar{\nu}_\mu \rightarrow \bar{\nu}_e)$



- ν_μ ($\bar{\nu}_\mu$) beam from J-PARC
- 2.5 deg off-axis beam (peak $E_\nu \sim 600$ MeV)
- $L \sim 295\text{km}$
- FD: Super-K detector



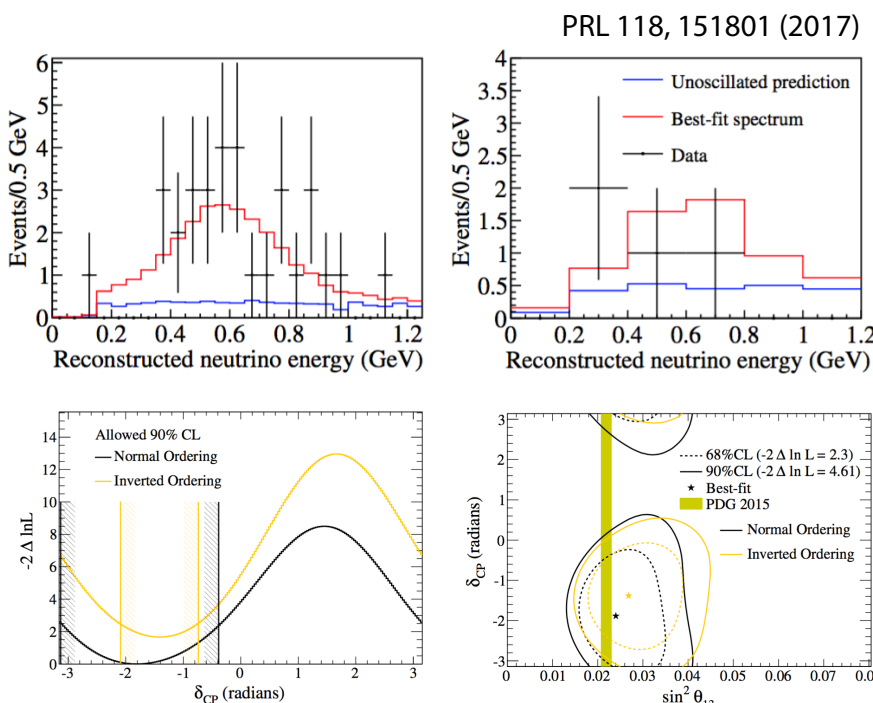
- NuMI ν_μ ($\bar{\nu}_\mu$) beam (FNAL)
- 15 mrad (0.86 deg) off-axis
- $L \sim 810\text{km}$ (ND $\sim 1\text{km}$)
- FD: 14kton (16mx16mx60m) with $\sim 2/3$ LS



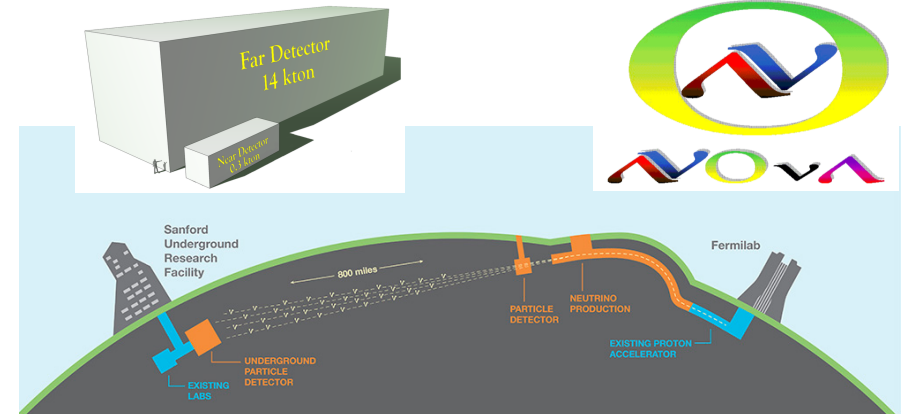
Super-Kamiokande
(ICRR, Univ. Tokyo)

T2K

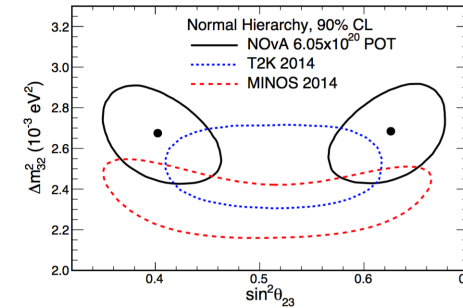
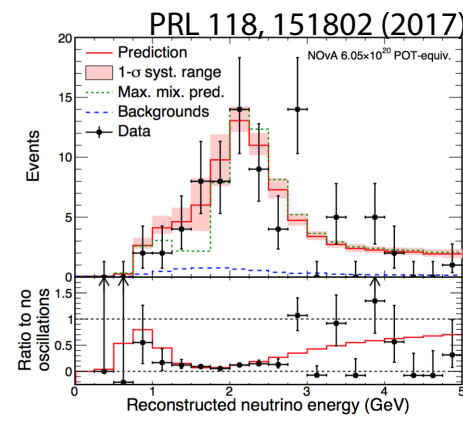
J-PARC Main Ring
(KEK-JAEA, Tokai)



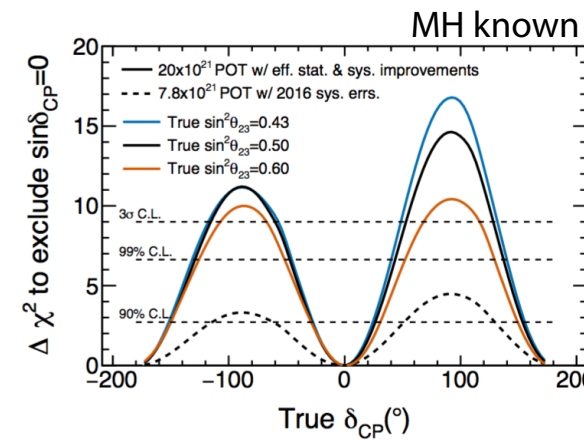
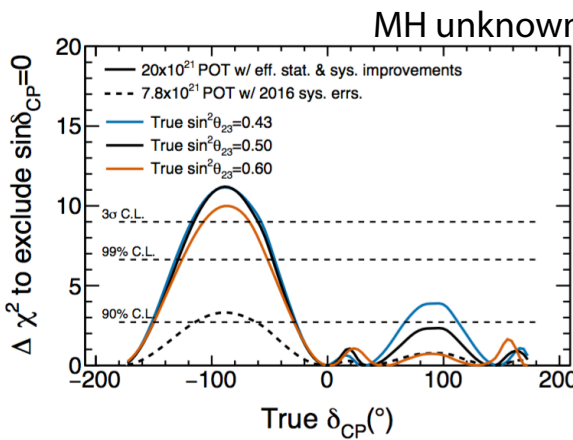
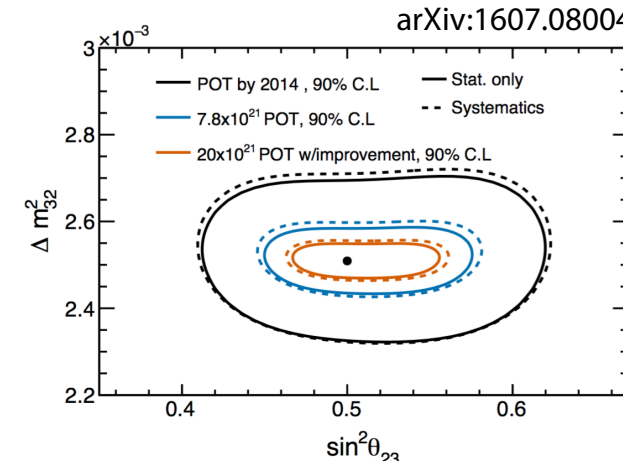
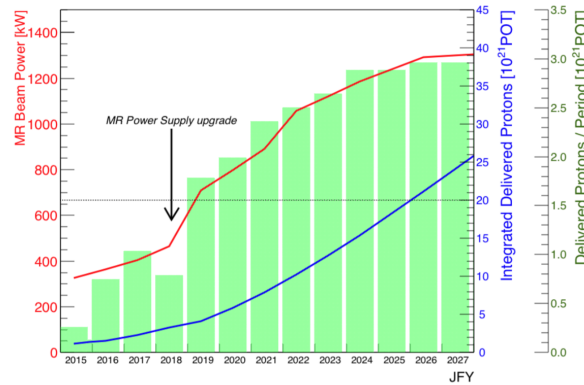
- Combined analysis with four samples ($\nu_\mu, \nu_e, \bar{\nu}_\mu, \bar{\nu}_e$)
- CP conservation ($\sin\delta=0$) excluded in 90% CL
- 最新の結果 → 企画講演 (14pS36)



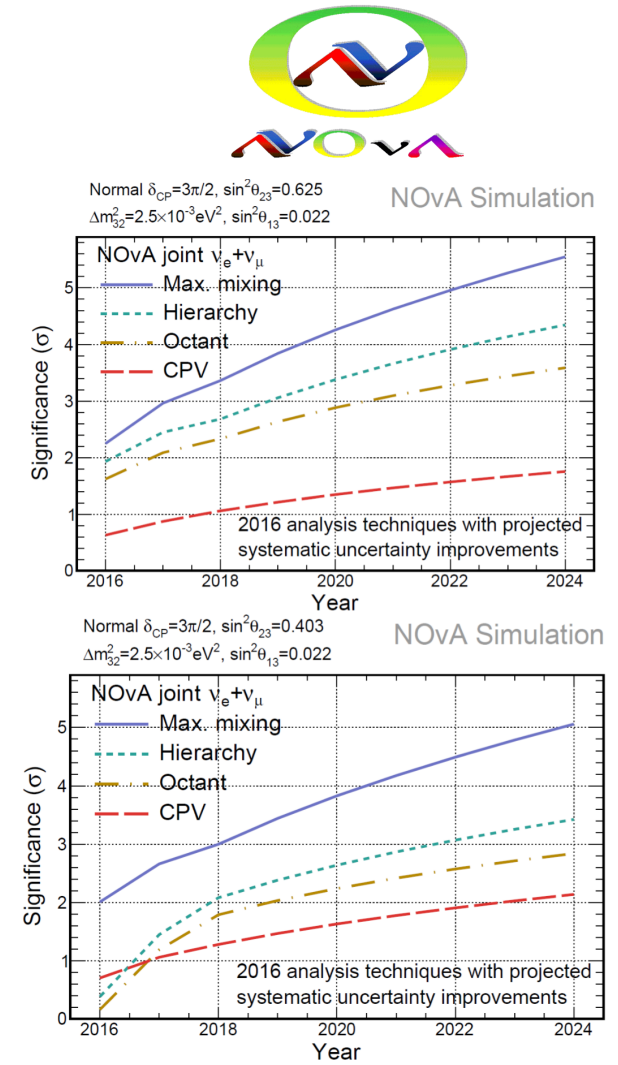
PRL 118, 151802 (2017)



- 6.05×10^{20} POT for ν -mode (taking $\bar{\nu}$ beam)
- Disfavored $\delta=0 \sim \pi$ for IH
- 2.6σ tension with maximal mixing

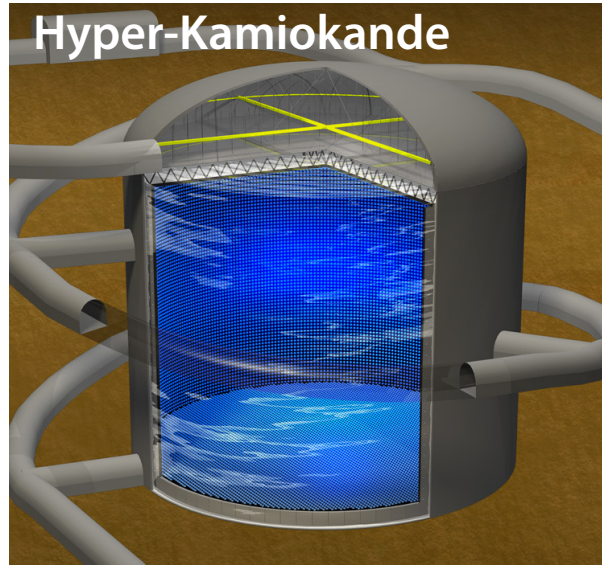


- T2K-II: Proposal for $20x10^{21}$ POT until 2026
- Increase signal rate by 50% and reduce syst. error
- CP sensitivity: 3 σ or higher for $\delta_{CP} \sim -\pi/2$
- $\Delta \theta_{23} \sim 1.7^{\circ}$ (0.7°) for $\sin^2 \theta_{23}=0.5$ ($0.43, 0.6$)

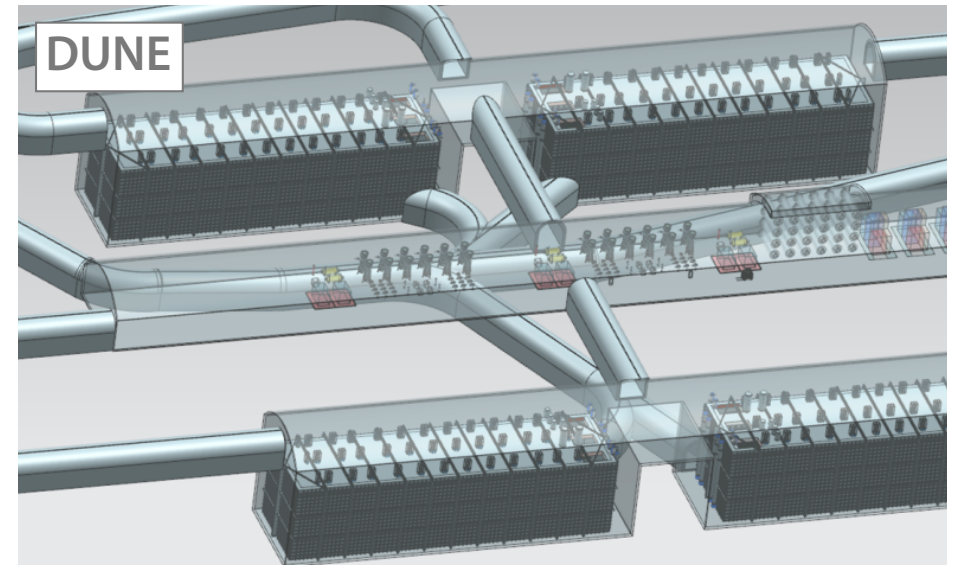


- 3 σ to exclude maximal mixing in 2018
- 3 σ for MH in 2020~2022

Hyper-K & DUNE



- **Water Cherenkov detector**
- **190 kton fiducial volume** (1 tank conf.) corresponding to ~10 times of Super-K
- 40,000 PMT (~40% coverage) of improved photo-detection efficiency(x2 compared to SK PMT)
- Increase 2.2 MeV gamma detection eff. by n-H capture



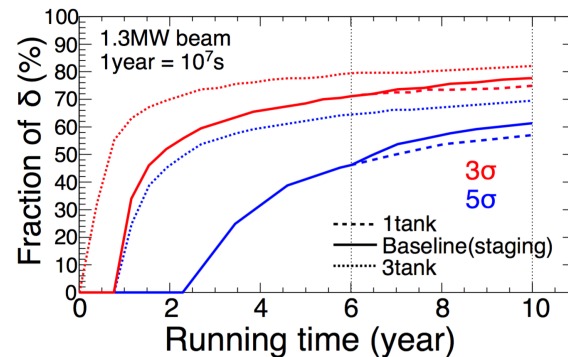
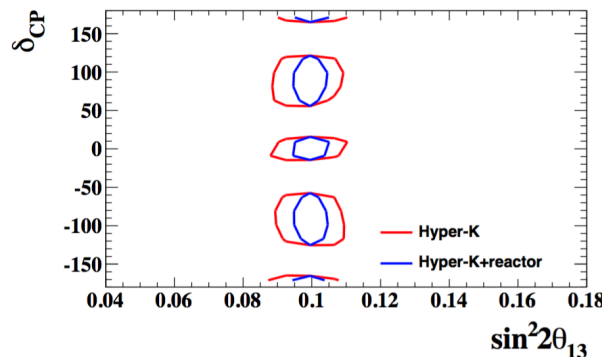
- **Liquid Argon detector** based time projection chamber technique (TPC)
- Though fiducial mass is relatively small (**40 kton**), high resolution imaging would offer possibilities to discriminate ν and $\bar{\nu}$

Hyper-K & DUNE CP Sensitivities

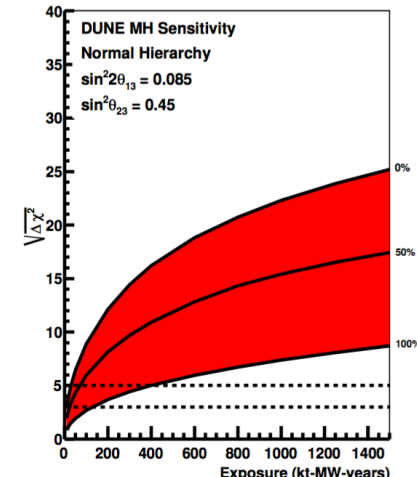
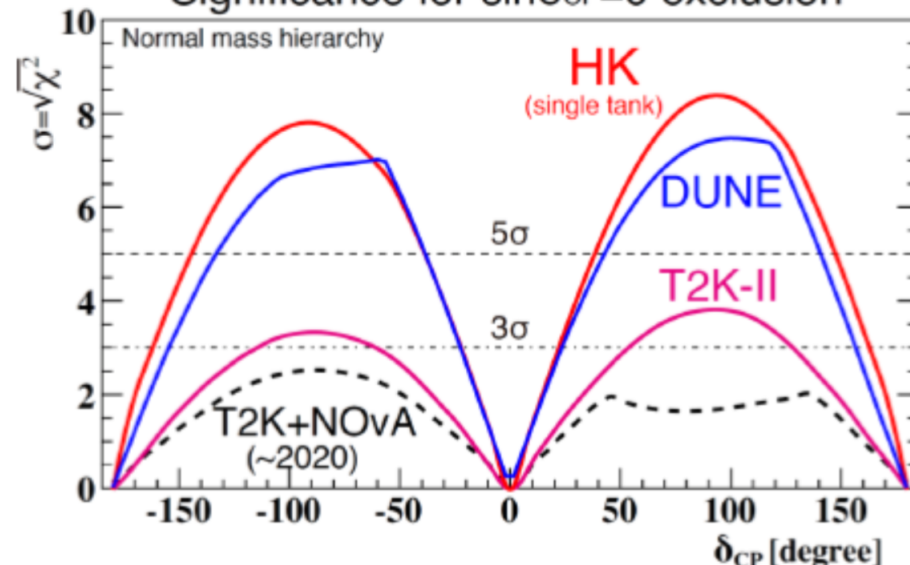


Hyper-Kamiokande

Normal mass hierarchy



Significance for $\sin \delta_{CP} = 0$ exclusion



→ 詳細は次の講演
(田中さん12pU11-8)

Mass hierarchy (質量階層性)

- 加速器ニュートリノ

- Nova



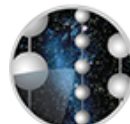
- 原子炉ニュートリノ

- JUNO

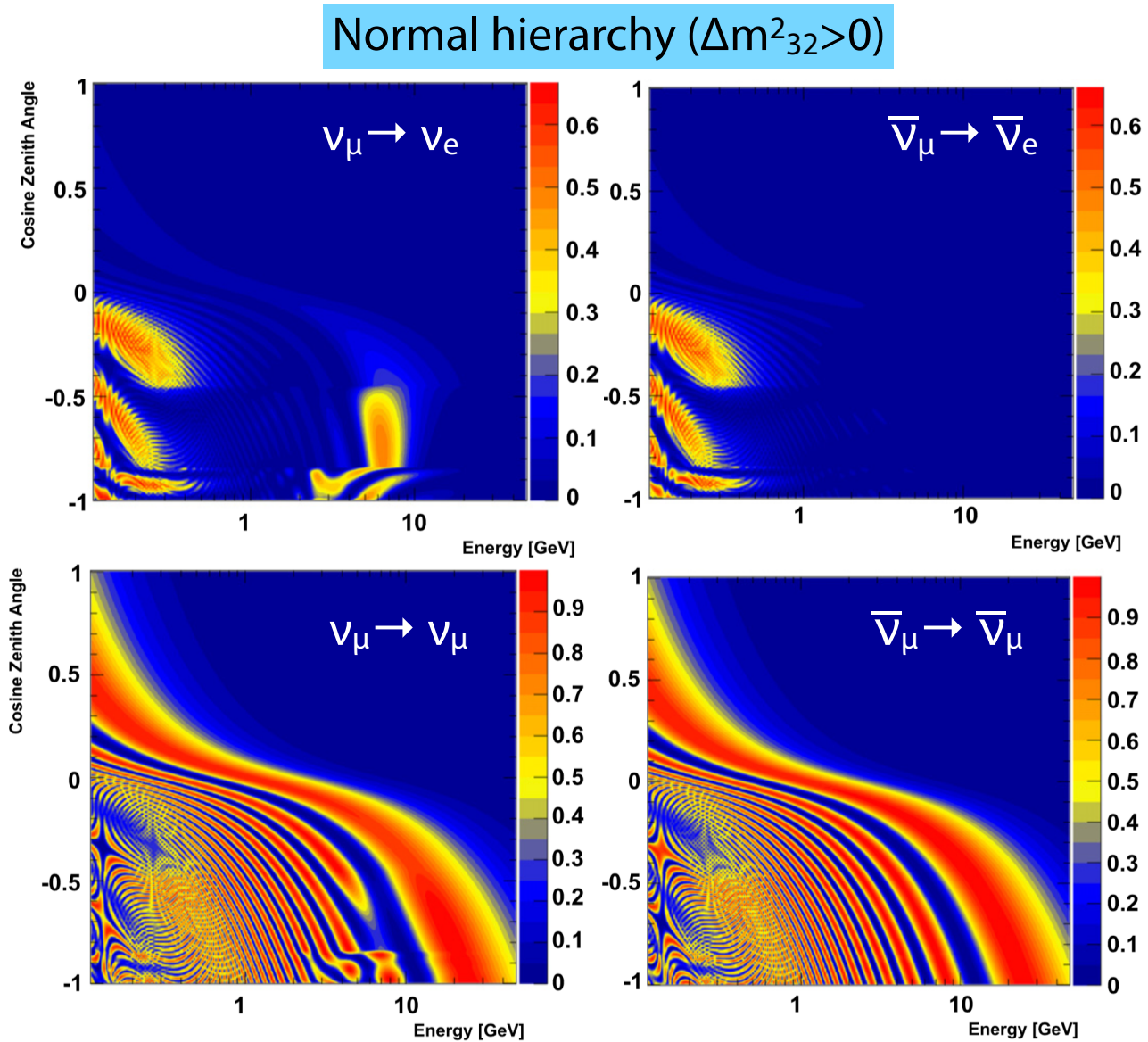


- 大気ニュートリノ

- SK、PINGU、ORCA、INO、Hyper-K、DUNE



Matter Effect and Mass Hierarchy



- Neutrino is affected by additional potential due to forward scattering with electrons (**matter effect**)

$$i \frac{d\nu(t)}{dt} = H_0 \nu(t) \quad H_0 \rightarrow H_0 + \frac{1}{2E} \begin{pmatrix} A & 0 \\ 0 & 0 \end{pmatrix}$$

Effective mixing angle: $A = \pm 2\sqrt{2}G_F E_\nu n_e$

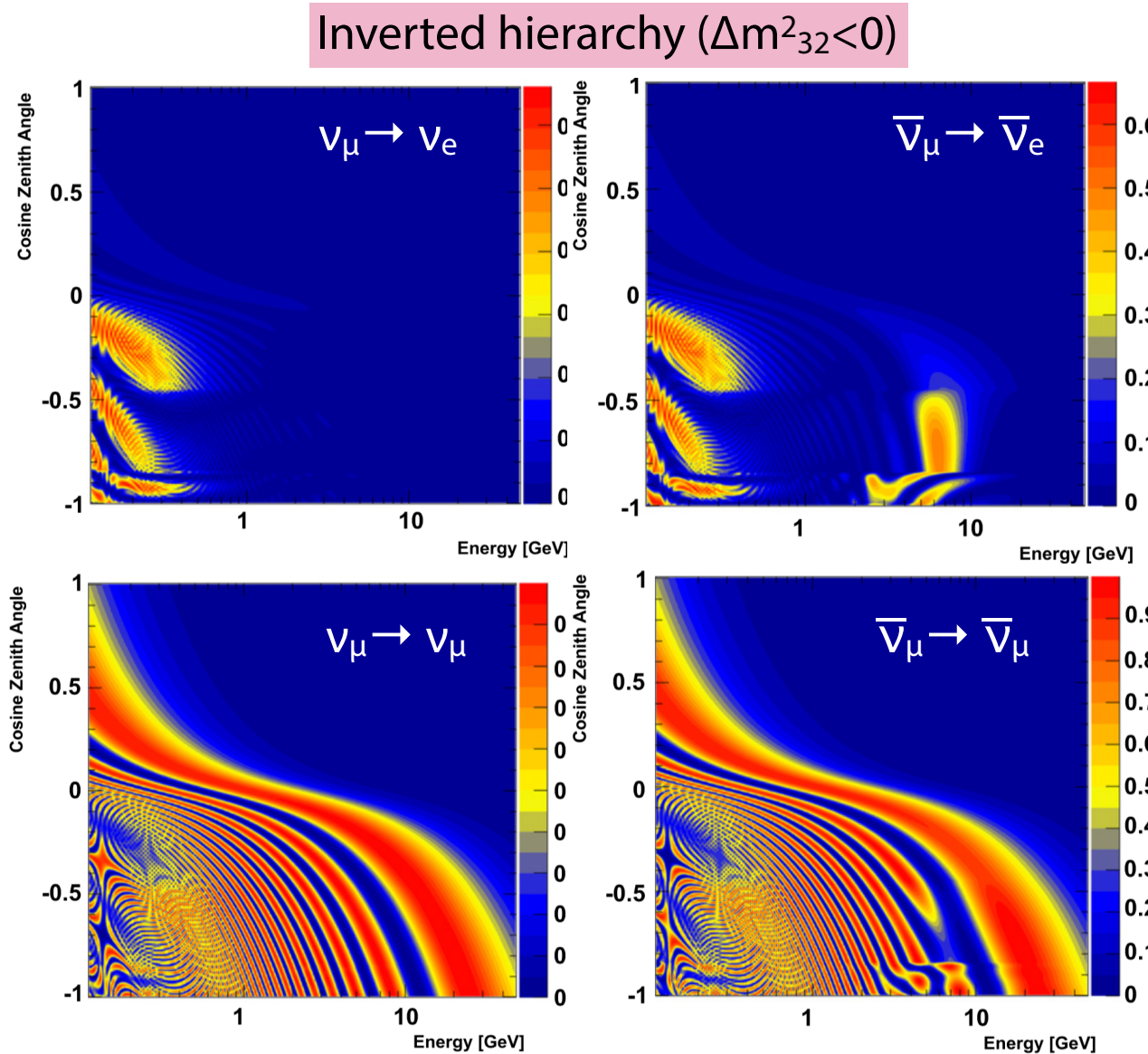
$$\sin 2\theta_{13}^M = \frac{\sin 2\theta_{13}}{\sqrt{\left(\frac{A}{\Delta m_{32}^2} - \cos 2\theta_{13}\right)^2 + \sin^2 2\theta_{13}}}$$

At resonance region in multi-GeV:

$$A \sim \Delta m_{32}^2 \cos 2\theta_{13} \quad \rightarrow \quad \theta_{13}^M \gg \theta_{13}$$

- Presence of resonance depends:
 - v / \bar{v} ($A \rightarrow -A$)

Matter Effect and Mass Hierarchy



- Neutrino is affected by additional potential due to forward scattering with electrons (**matter effect**)

$$i \frac{d\nu(t)}{dt} = H_0 \nu(t) \quad H_0 \rightarrow H_0 + \frac{1}{2E} \begin{pmatrix} A & 0 \\ 0 & 0 \end{pmatrix}$$

$$A = \pm 2\sqrt{2}G_F E_\nu n_e$$

- Effective mixing angle in matter:

$$\sin 2\theta_{13}^M = \frac{\sin 2\theta_{13}}{\sqrt{\left(\frac{A}{\Delta m_{32}^2} - \cos 2\theta_{13}\right)^2 + \sin^2 2\theta_{13}}}$$

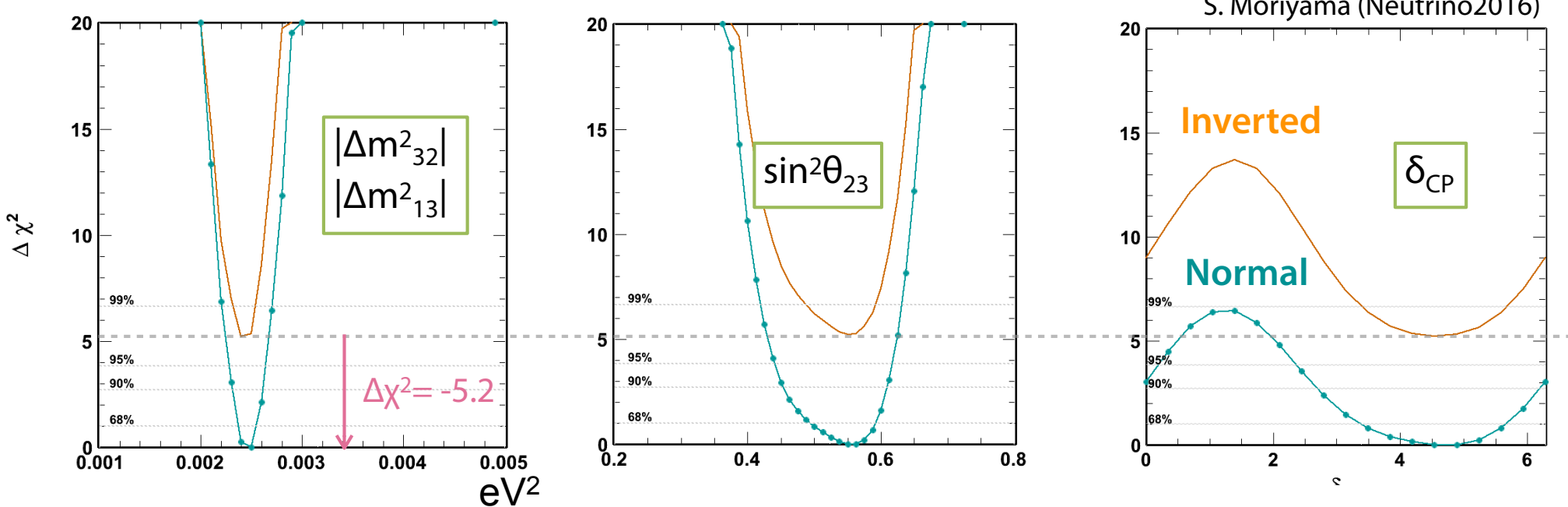
- At resonance region in multi-GeV:

$$A \sim \Delta m_{32}^2 \cos 2\theta_{13} \rightarrow \theta_{13}^M \gg \theta_{13}$$

- Presence of resonance depends:

- ν / ν̄ (A → -A)
- **Mass hierarchy** ($\Delta m^2_{32} \rightarrow -\Delta m^2_{32}$)

Three Flavor Fit (w/ reactor and T2K constraints)

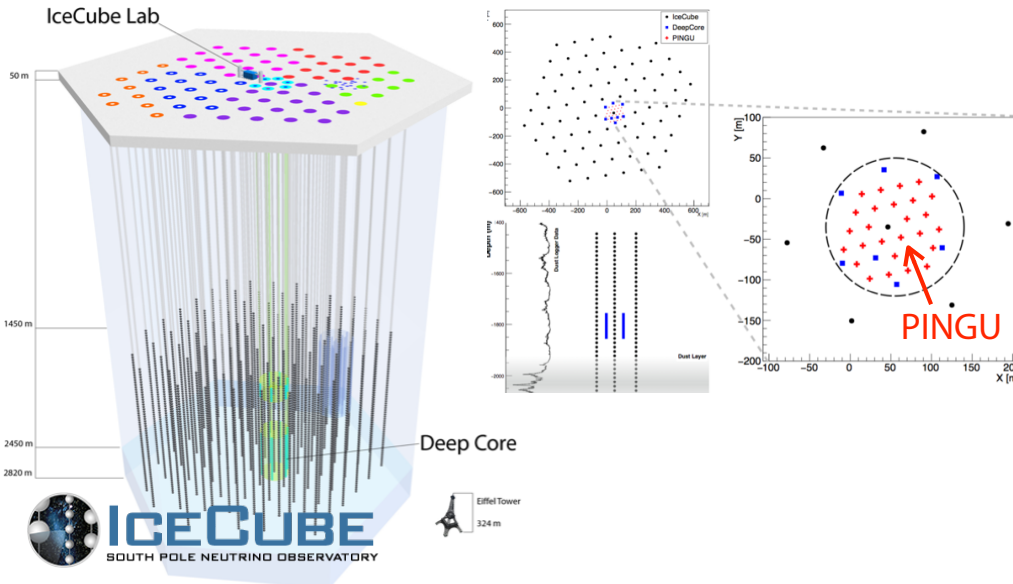


- Normal hierarchy is weakly preferred:**
 $\Delta\chi^2 = \chi^2_{\text{NH}} - \chi^2_{\text{IH}} = -5.2$ (-3.8 exp. for SK best, -3.1 for combined best)
- p-value of Inverted hypothesis is 0.024 ($\sin^2 \theta_{23} = 0.6$) and 0.001 ($\sin^2 \theta_{23} = 0.4$).

	δ_{CP}	$\sin^2 \theta_{23}$	$ \Delta m^2_{32} $ (eV ²)
Inverted	4.189	0.575	2.5×10^{-3}
Normal	4.189	0.587	2.5×10^{-3}
Inverted	4.538	0.55	2.5×10^{-3}
Normal	4.887	0.55	2.4×10^{-3}

w/ T2K constraint

PINGU and ORCA

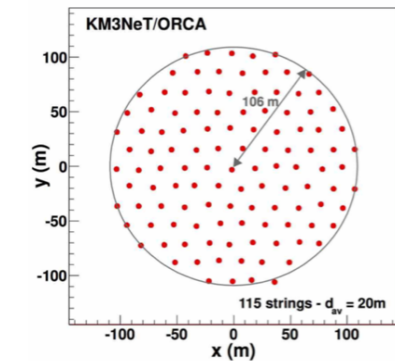
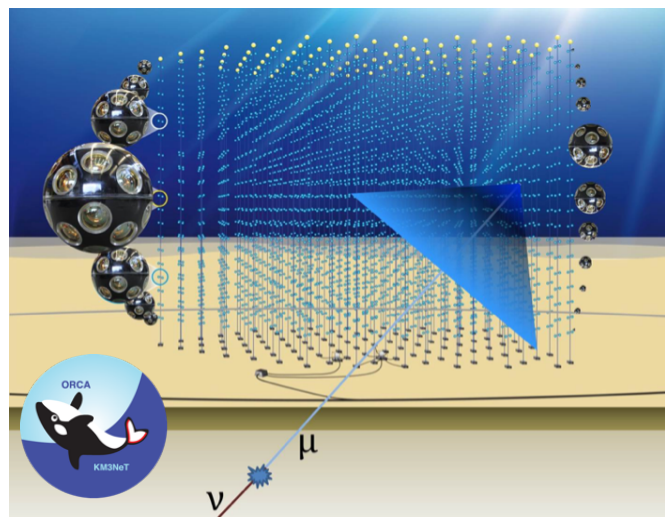


IceCube / PINGU:

- **Inner detector configuration** of IceCube/DeepCore at South pole
 - 6 Mton effective mass
- **Lower threshold (~GeV)** with 22 m spacing of string
- ~60,000 atm. v / year expected

KM3NET / ORCA:

- **Low energy branch** of KM3NeT in Mediterranean Sea
- Dense array of multi-PMT digital optical modules (DOMs)

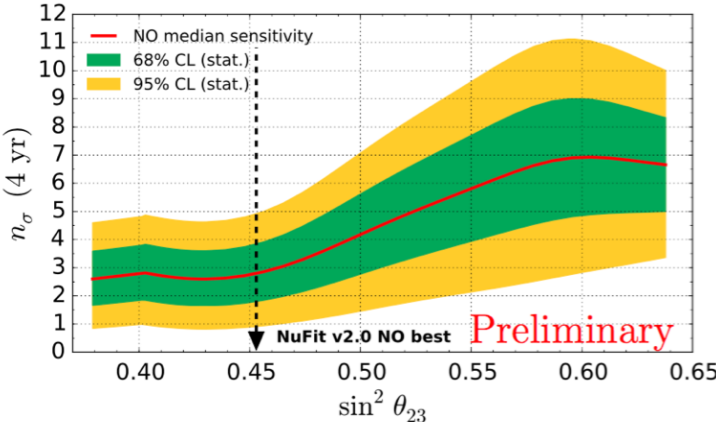


	ARCA	ORCA
Location	Italy	France
String dist. [m]	90	20
DOM spacing [m]	36	6
Volume [10^6 m^3]	~ 500	~ 3.8

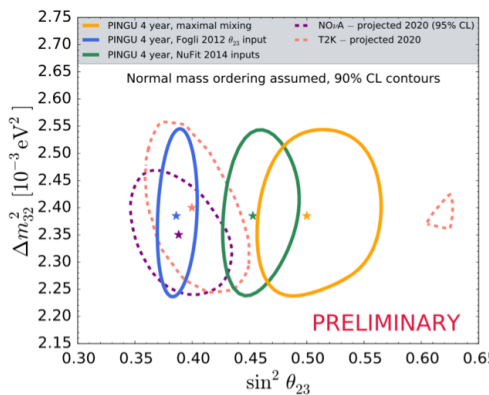
PINGU / ORCA Sensitivities

PINGU

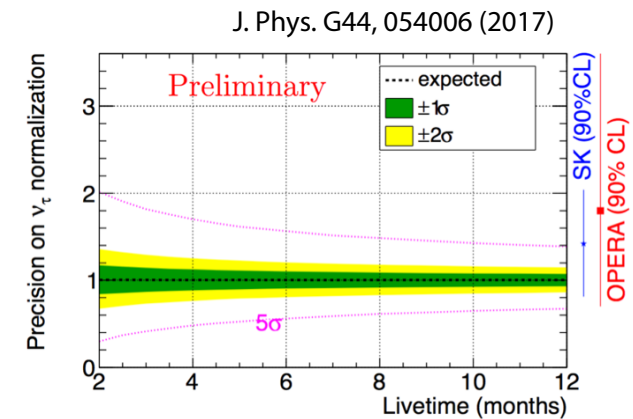
Mass Hierarchy



θ_{23} Octant

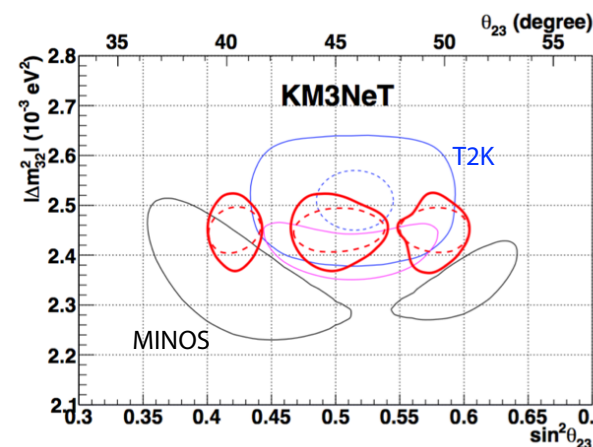
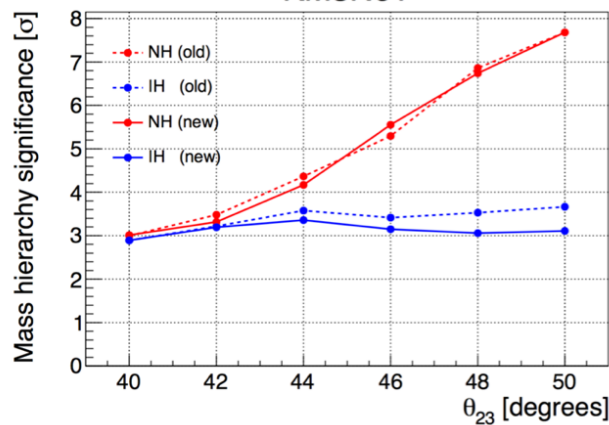


ν_τ Appearance

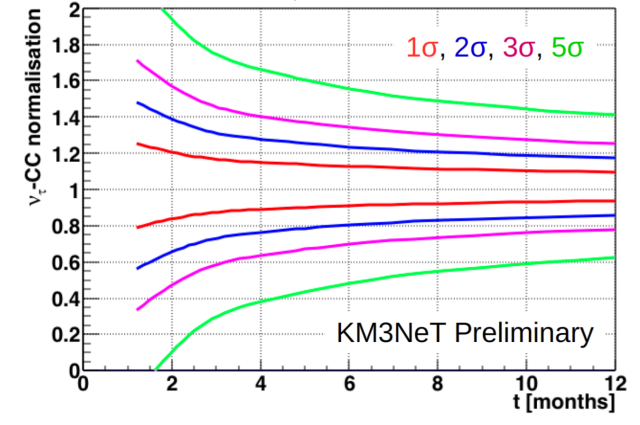


ORCA

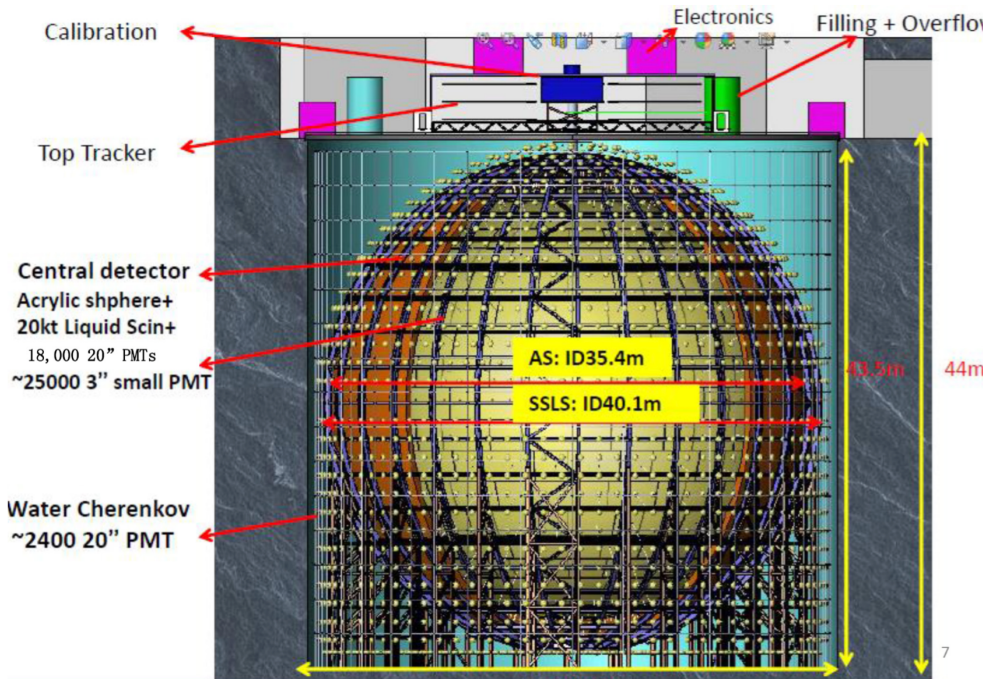
KM3NeT



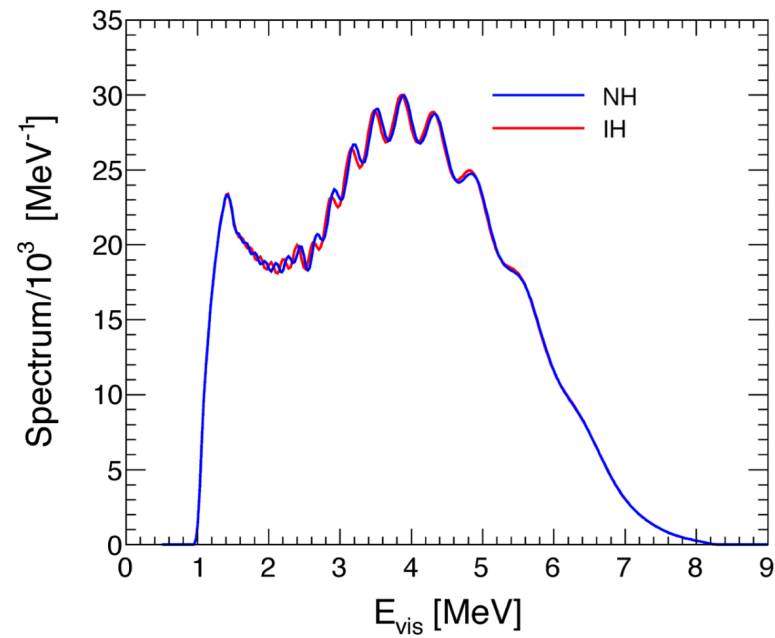
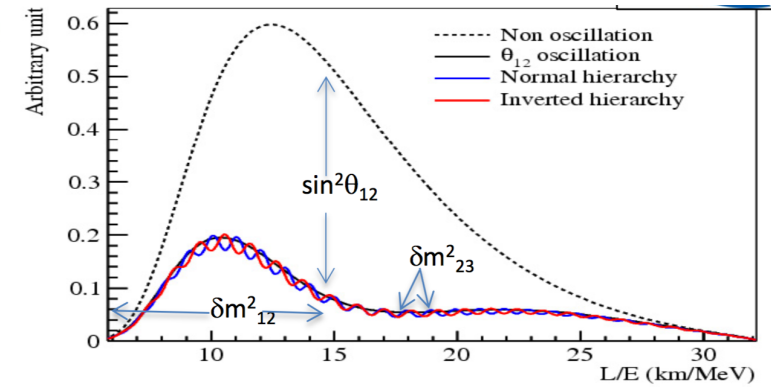
J. Phys. G43 no.8 084001 (2016)



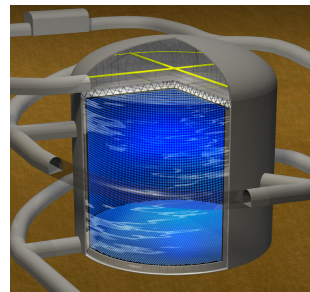
JUNO (Jiangmen Underground Neutrino Observatory)



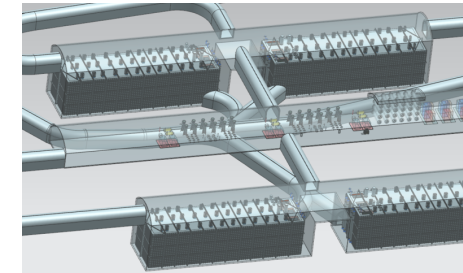
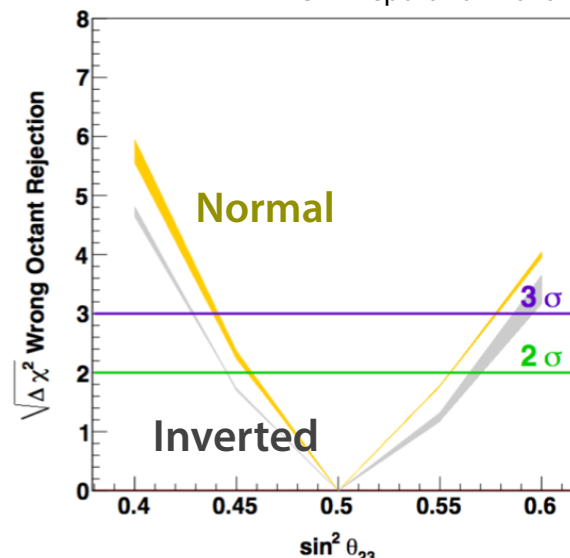
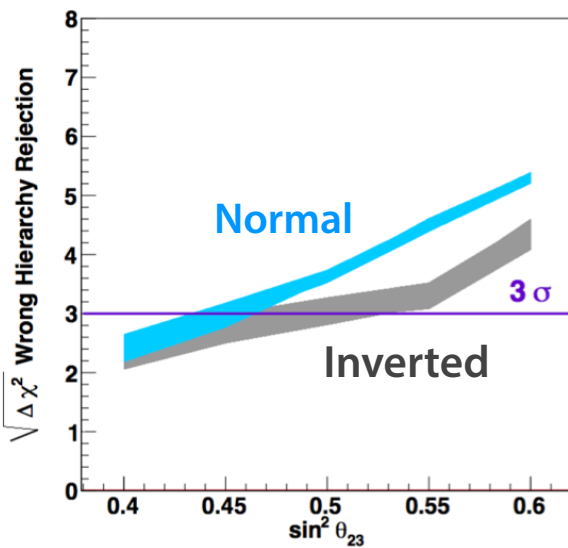
- 20kton Liquid Sci. in China
- ~80% photo coverage ($\Delta E \sim 3\%/\sqrt{E}$)
- Reactor power: 36 GW, L ~ 50 km
- Precise measurement of reactor ν by MH



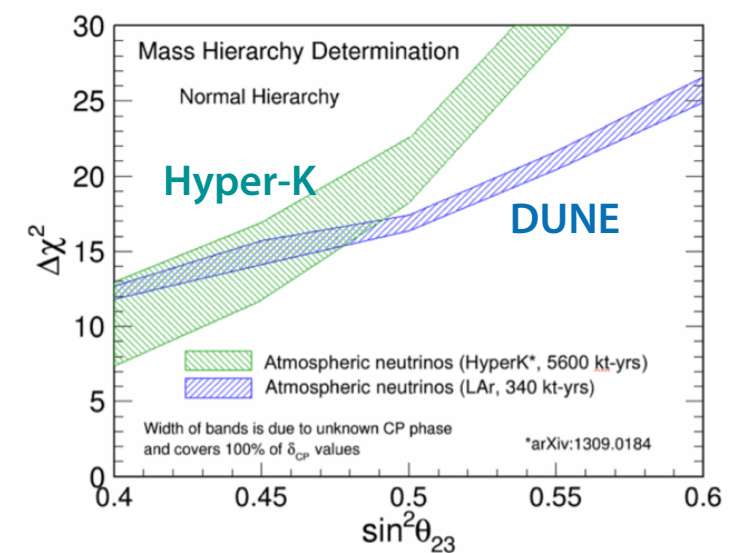
Hyper-K & DUNE Atmospheric Sensitivities



KEK Preprint 2016-21
ICRR-Report-701-2016-1



arXiv.1512.06148

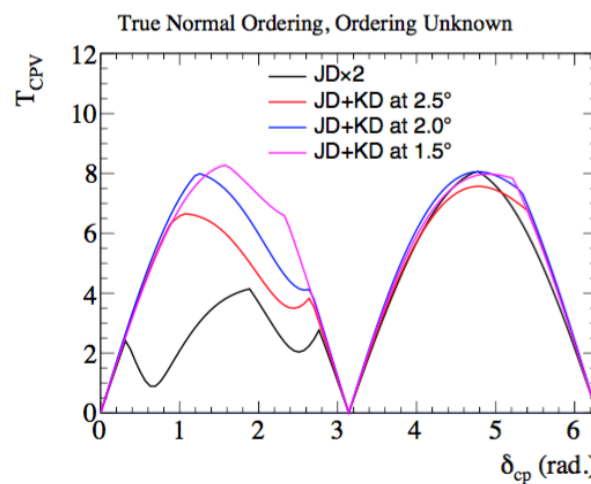
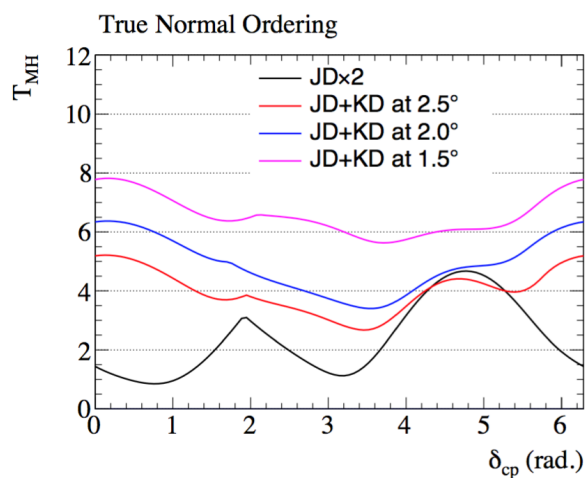
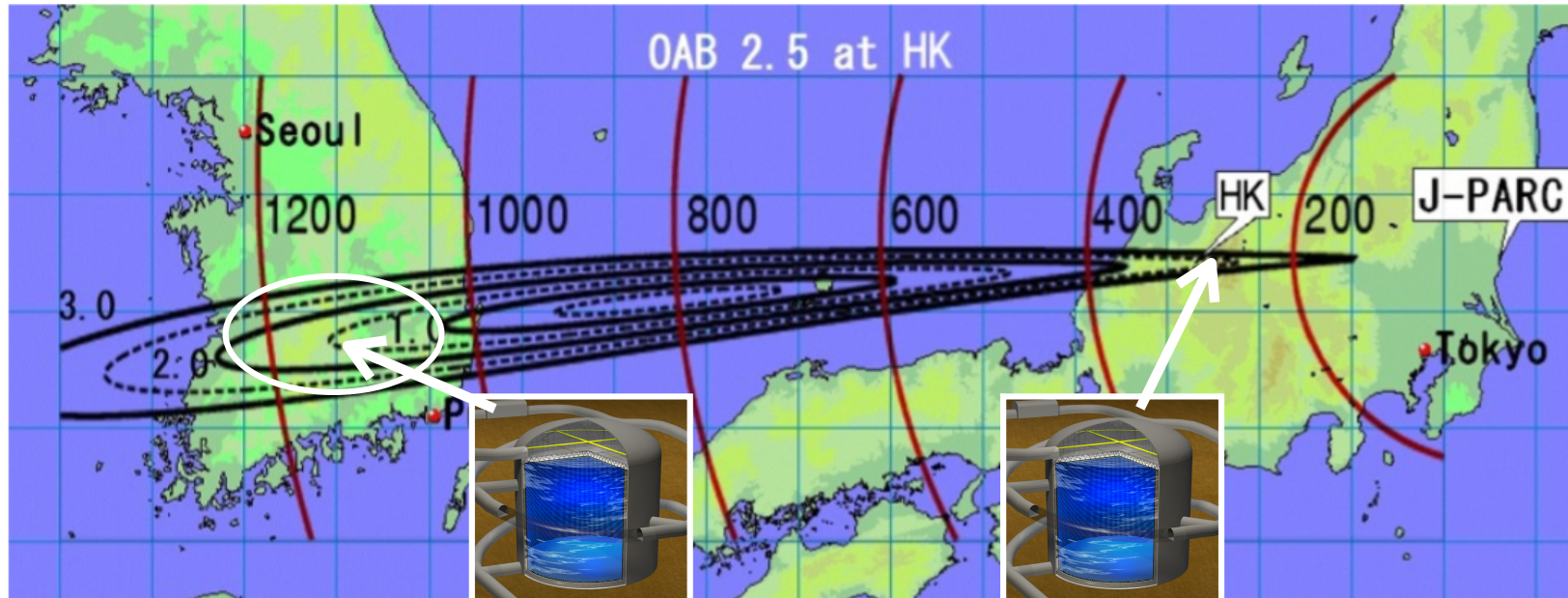


- **>3 σ sensitivity for both MH cases** for $\sin^2 \theta_{23} > 0.45$ with 10yr data (2.6Mtonyr)
- Possible to discriminate θ_{23} octant at **>3 σ for $|\theta_{23}-45| > 4\text{deg}$**

- **Comparable MH sensitivity** to Hyper-K due to high detector resolution

T2HKK option

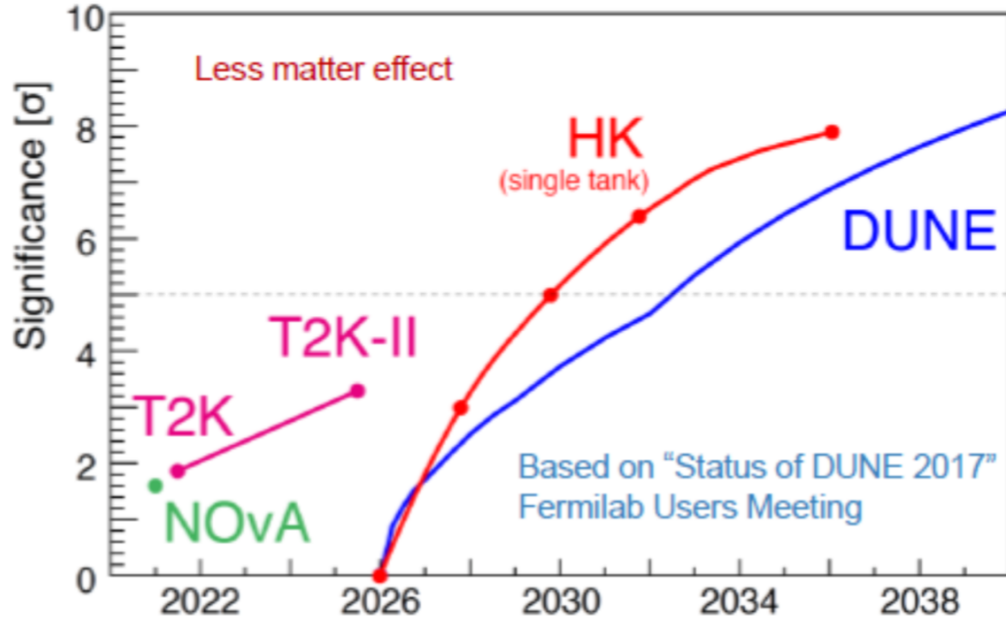
arXiv.1611.06118



- 2nd HK in Korea
 - L = 1000~1300 km
 - 1.5~2.5° off-axis
- Better MH sensitivity
- Better CP coverage

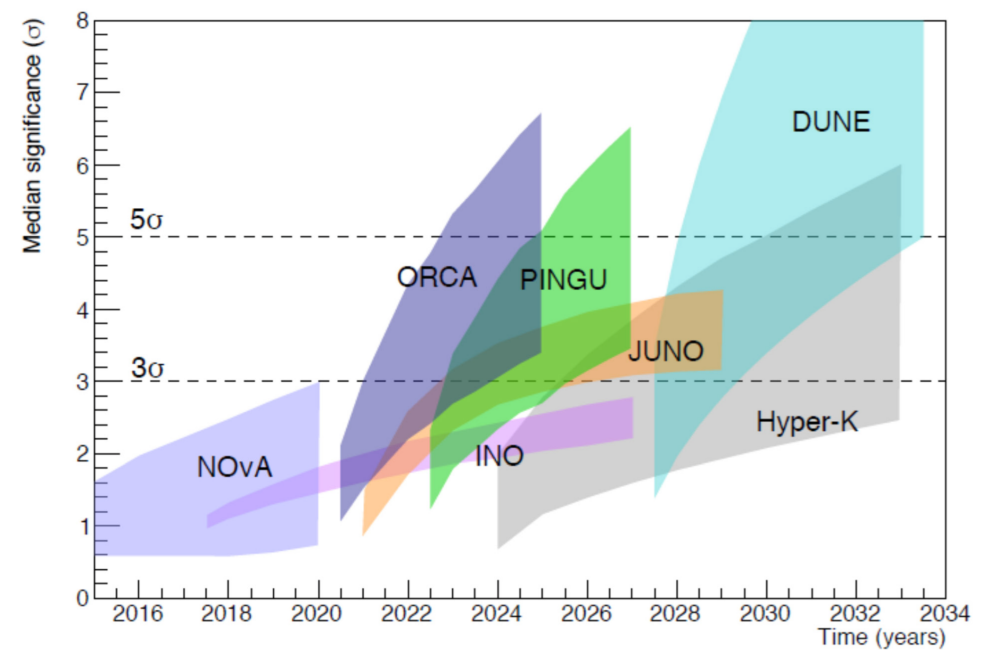
CP

CPV significance for $\delta_{CP} = -90^\circ$, normal hierarchy

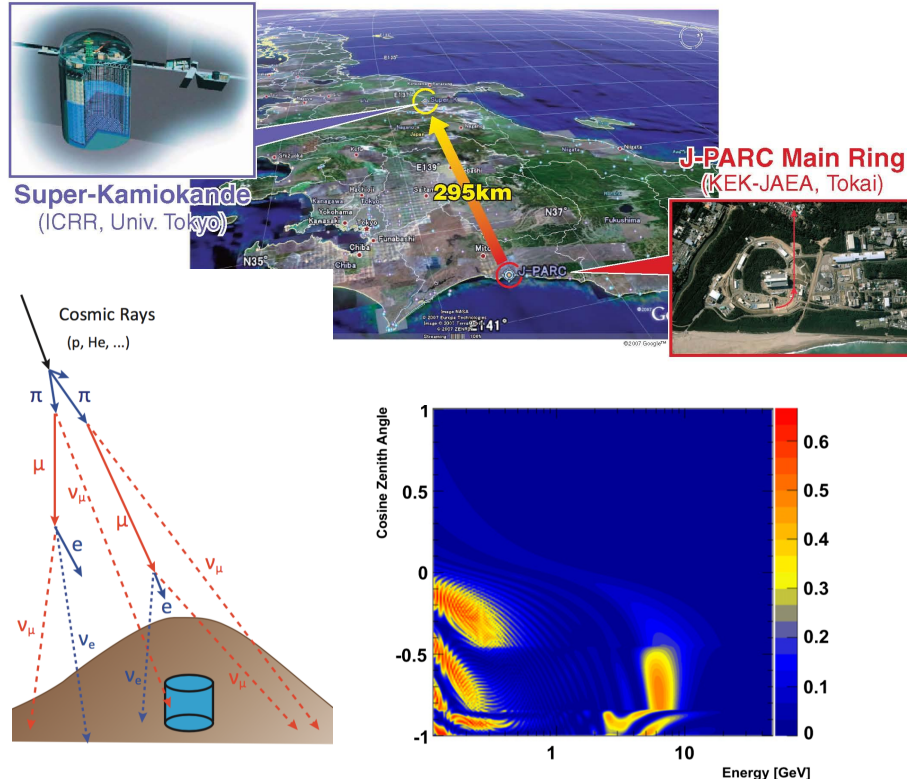


Mass hierarchy

Expected sensitivities vs. time



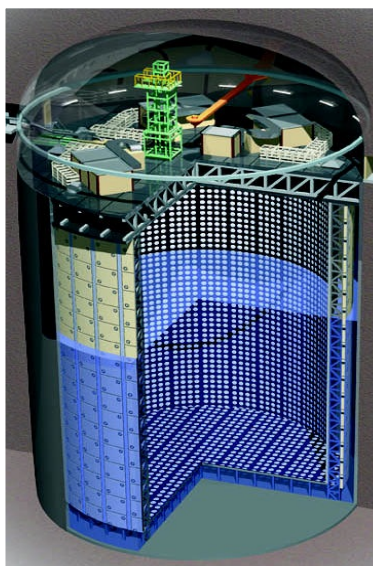
(originally from JHEP 1403 (2014) 028)



加速器 ν でのCP測定
大気 ν での質量階層性



ニュートリノ・反ニュートリノ
の振動確率の差異を測定



検出器：スーパーカミオカンデ
レプトン電荷による反ニュートリノ識別不可



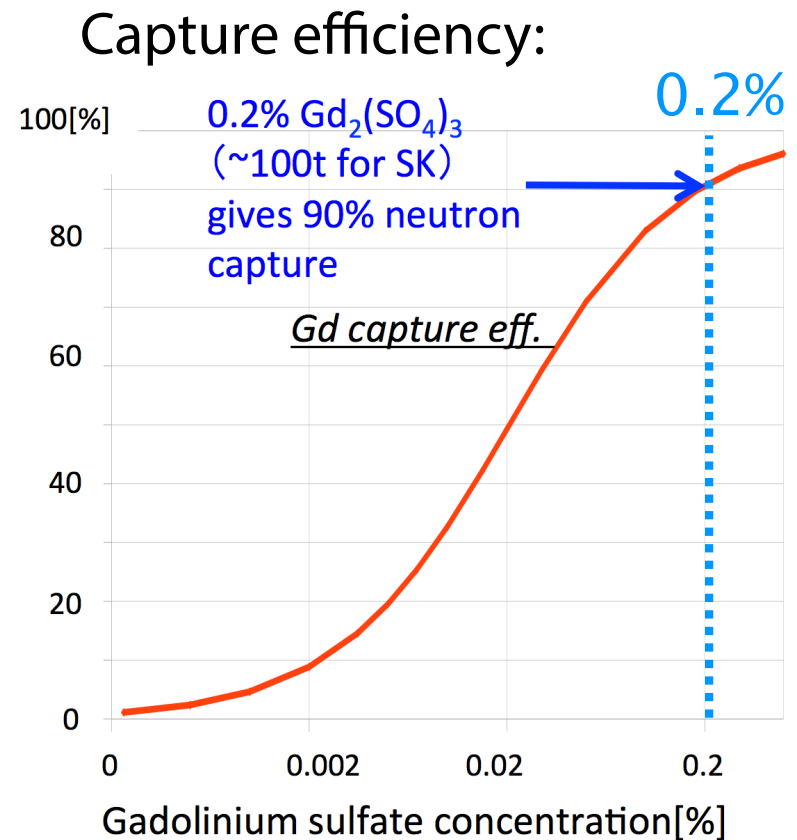
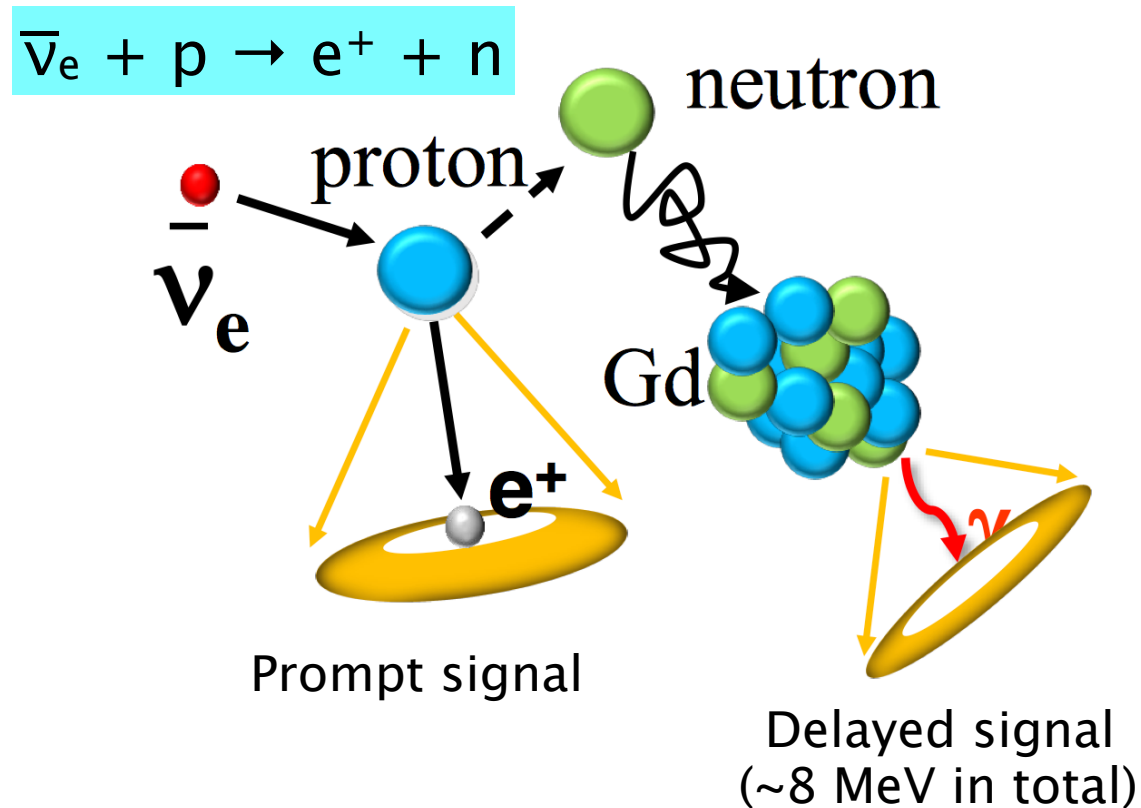
SK-Gd による反跳中性子検出



CP、質量階層性測定へのインパクト？

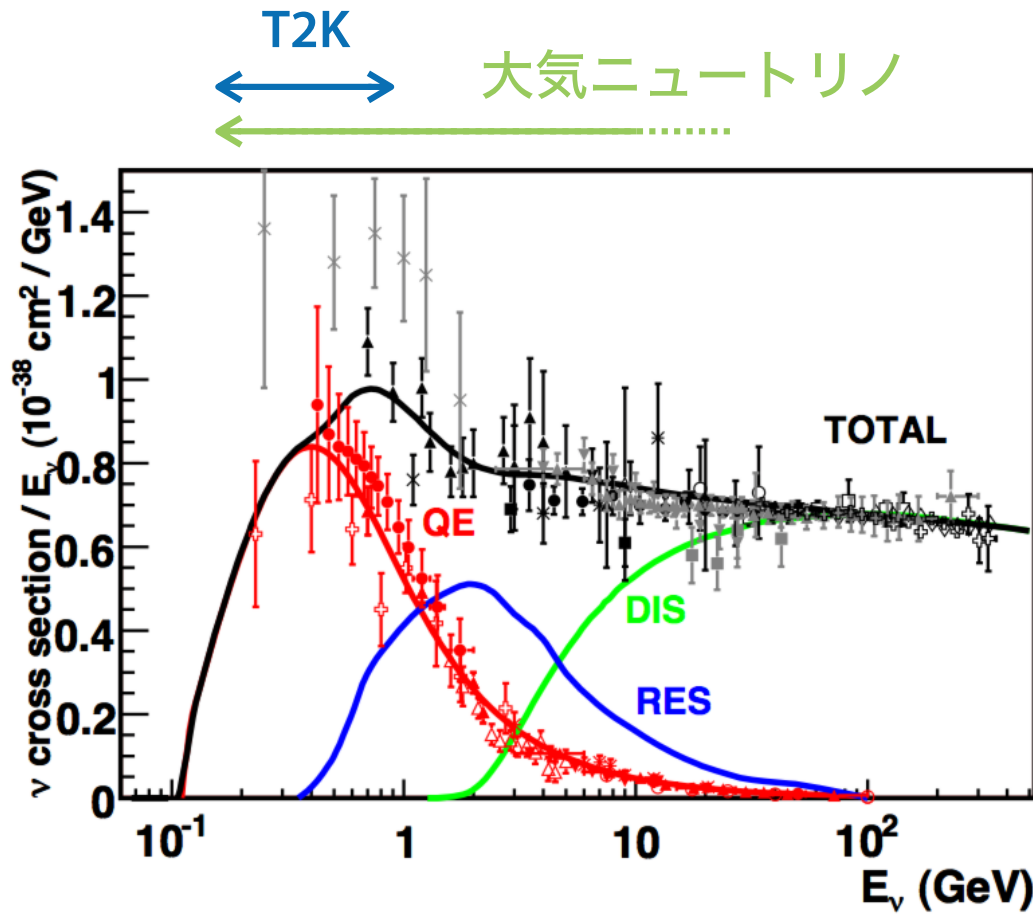
SuperK-Gd project

PRL93,171101 (2004)



- Add 0.2% $Gd_2(SO_4)_3$ in water to enhance neutron capture
- multiple gammas (~8MeV in total) emitted from Gd by neutron capture
- Possible to identify anti-neutrino interaction with delayed coincidence

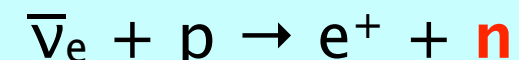
中高エネルギー領域 (100MeV~) での ニュートリノ断面積



ニュートリノCCQE :



反ニュートリノCCQE :

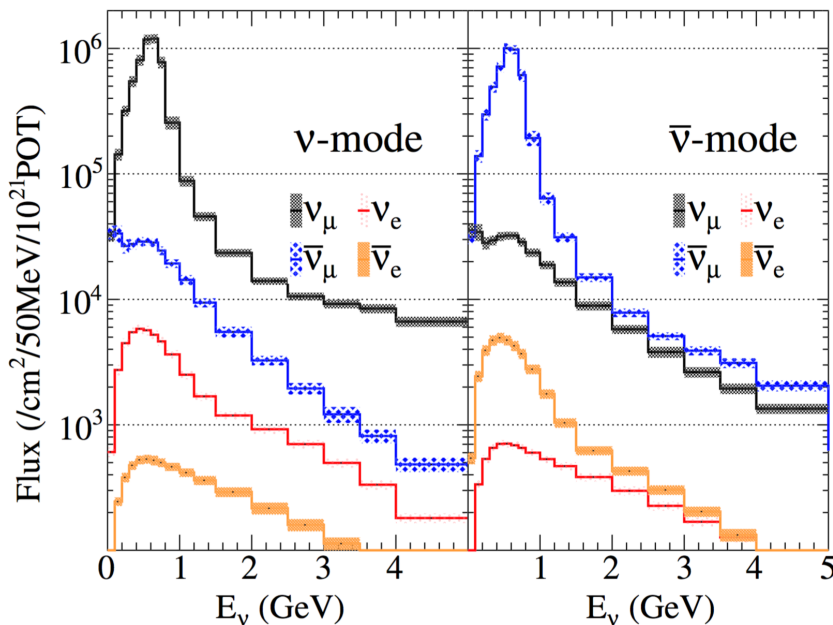


- sub-GeVでは Charged-Current Quasi-Elastic (CCQE) が大半
- 一方、高エネルギー側では
 - 他の相互作用モードの増加
 - 2次ハドロン相互作用効果（後述）
- SK-Gdで中性子検出効率向上により、T2Kや大気ニュートリノでも反ニュートリノ識別が期待

Wrong Sign background

Number of Events expected for T2K-II
 (10x10²¹ POT for each ν and $\bar{\nu}$ mode)

T2K ν and $\bar{\nu}$ flux:



ニュートリノ断面積:

$$\sigma(\nu) \sim 3 \times \sigma(\bar{\nu})$$

ν_μ disappearance

arXiv:1607.08004

	Total	Beam CC ν_μ	Beam CC $\bar{\nu}_\mu$	Beam CC $\nu_e + \bar{\nu}_e$	$\nu_\mu \rightarrow \nu_e +$ $\bar{\nu}_\mu \rightarrow \bar{\nu}_e$	NC
ν -mode ν_μ sample	2735.0	2393.0	158.2	1.6	7.2	175.0
$\bar{\nu}$ -mode $\bar{\nu}_\mu$ sample	1283.5	507.8	707.9	0.6	1.0	66.2

ν -mode $\rightarrow \bar{\nu}$ -mode
 signal $\rightarrow \times 1/3$
 wrong sign $\rightarrow \times 3$

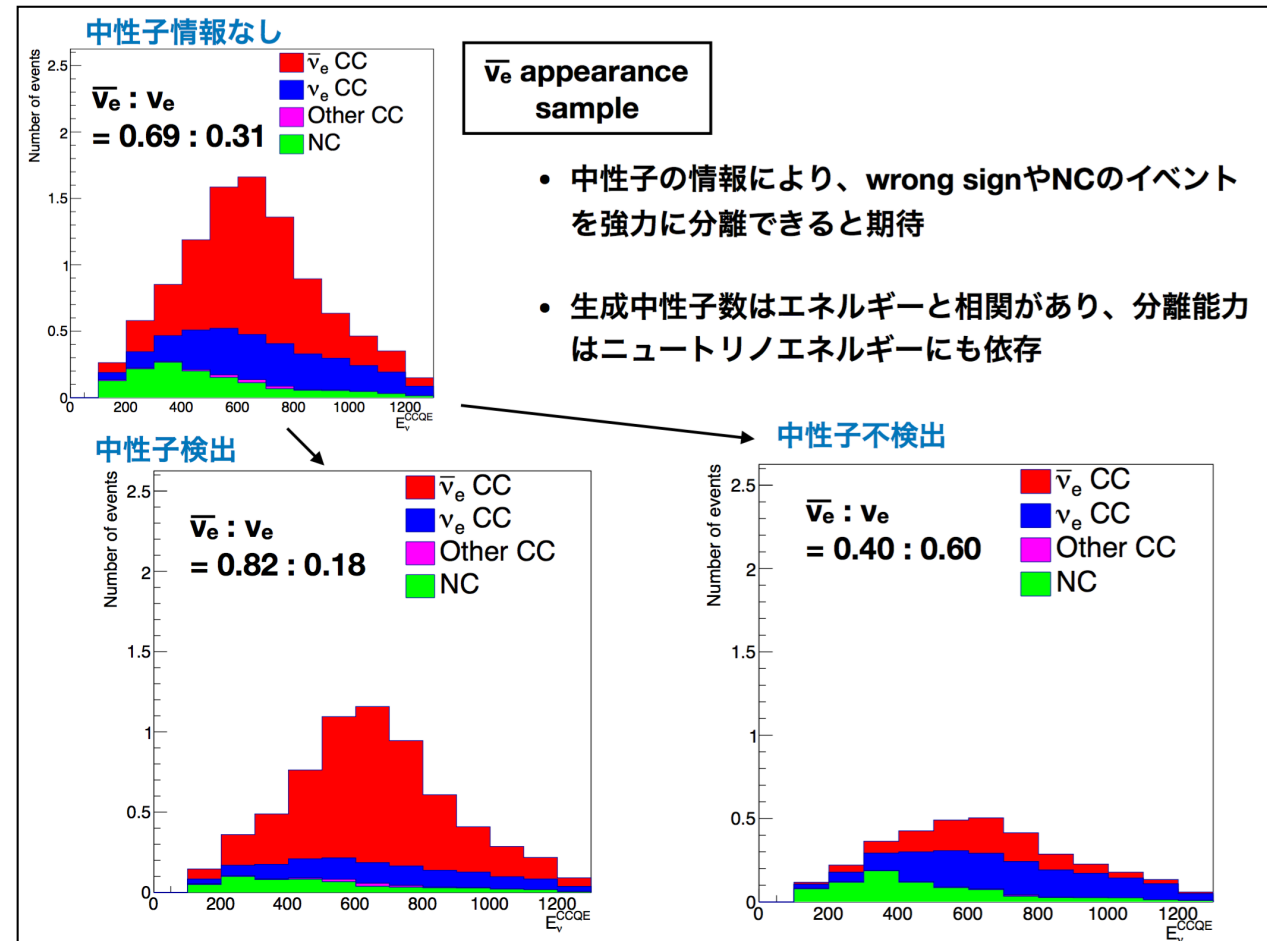
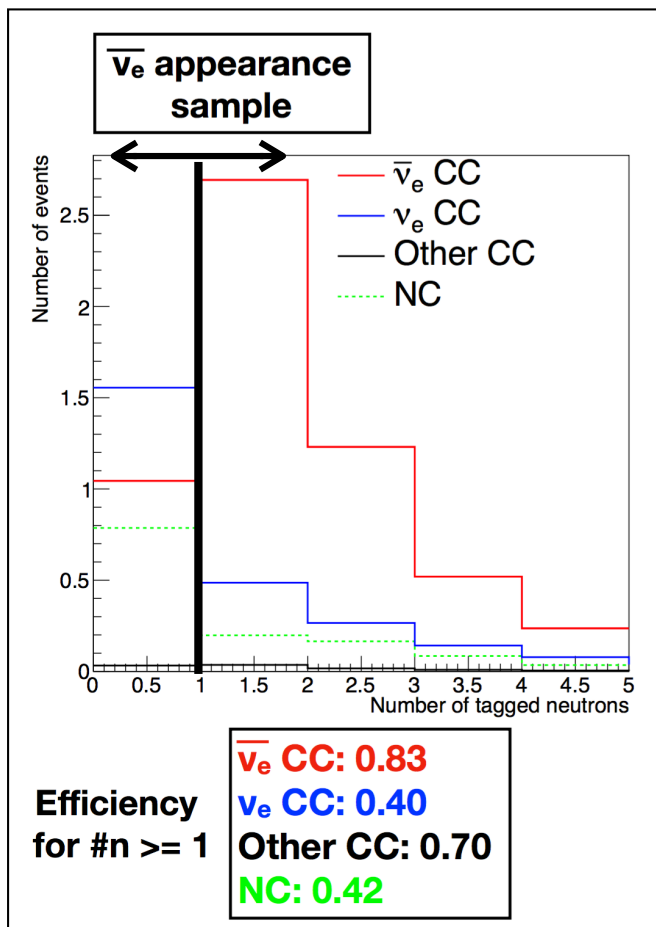
ν_e appearance

	True δ_{CP}	Total	Signal $\nu_\mu \rightarrow \nu_e$	Signal $\bar{\nu}_\mu \rightarrow \bar{\nu}_e$	Beam CC $\nu_e + \bar{\nu}_e$	Beam CC $\nu_\mu + \bar{\nu}_\mu$	NC
ν -mode	0	467.6	356.3	4.0	73.3	1.8	32.3
	$-\pi/2$	558.7	448.6	2.8	73.3	1.8	32.3
$\bar{\nu}$ -mode	0	133.9	16.7	73.6	29.2	0.4	14.1
	$-\pi/2$	115.8	19.8	52.3	29.2	0.4	14.1

wrong sign が δ_{CP} による signal 事象数変化を
 (わずかだが) 弱める方向に働く

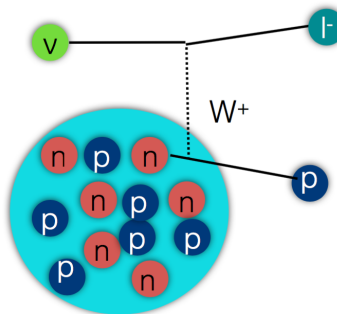
T2K 反 ν ビームモードでの 電子事象における中性子検出数

中島さんの講演 (12aU32-12)

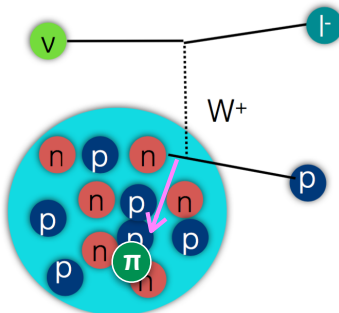
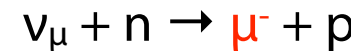


→ Wrong Sign (ν_e CC) やNC成分の分離に期待

$1\mu + 0\pi$ events :



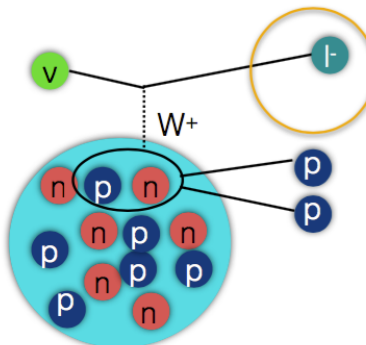
1. CCQE



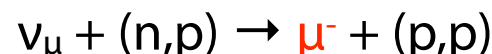
2. π stuck



(π absorbed or below E_{Ch})



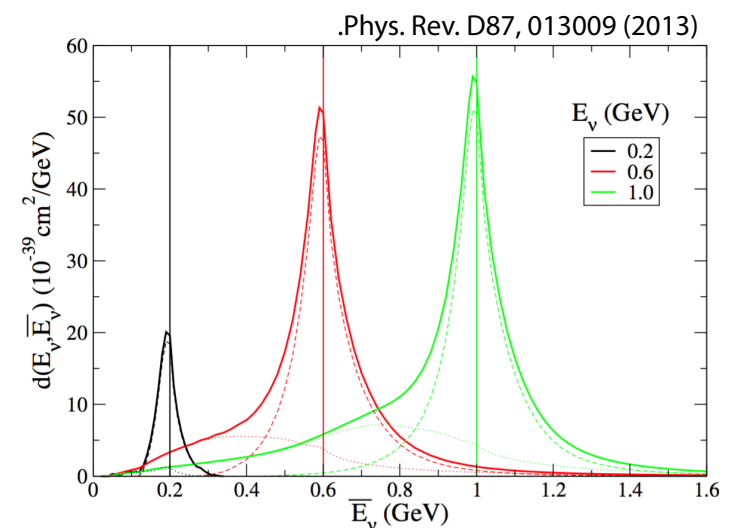
3. multi-nucleon or 2p-2h:



only μ^- is visible in the detector

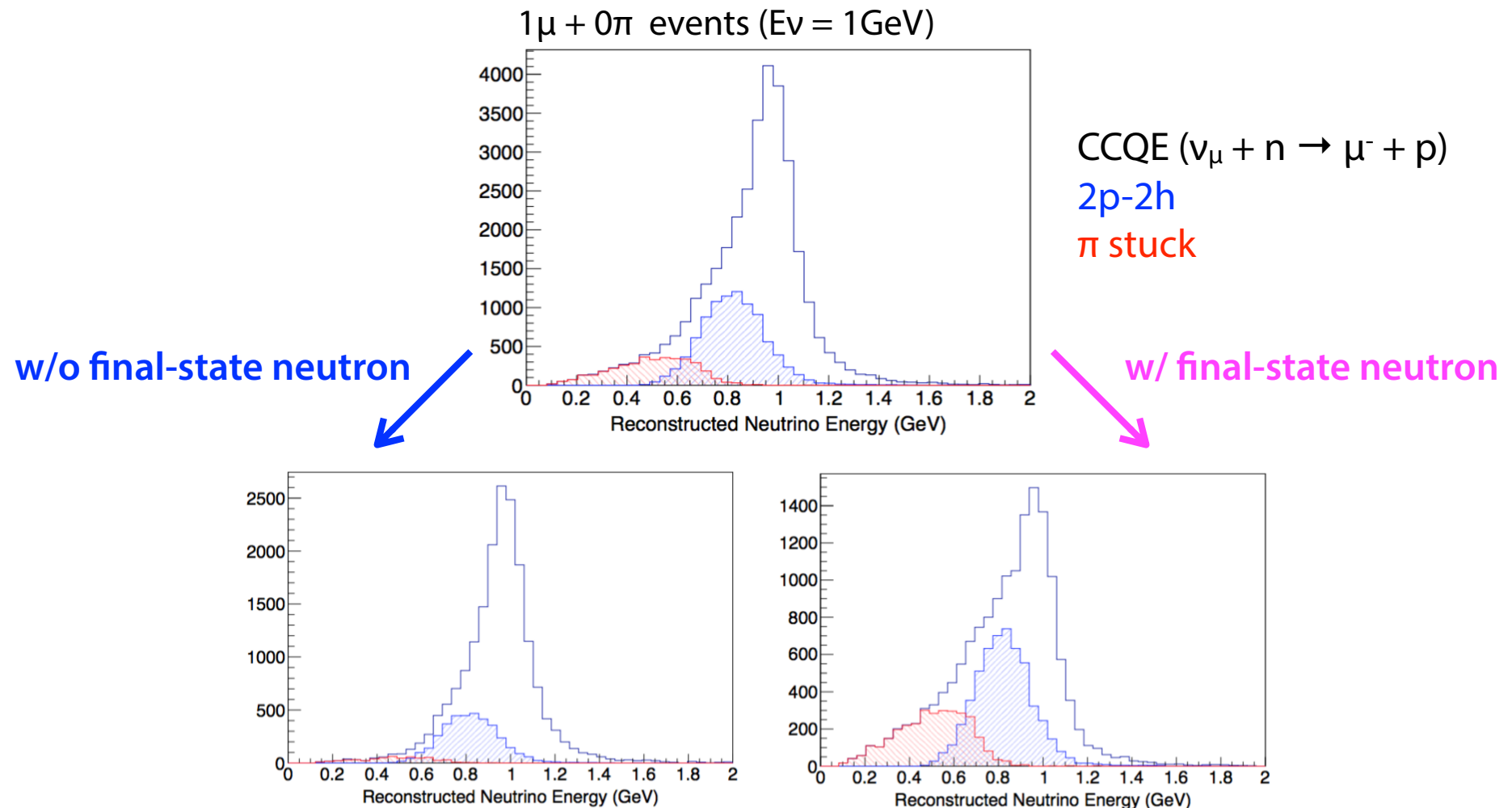
CCQE反応を仮定したニュートリノ
エネルギー再構成:

$$E_\nu^{\text{rec}} = \frac{m_p^2 - (m_n - E_b)^2 - m_e^2 + 2(m_n - E_b)E_e}{2(m_n - E_b - E_e + p_e \cos \theta_e)}$$



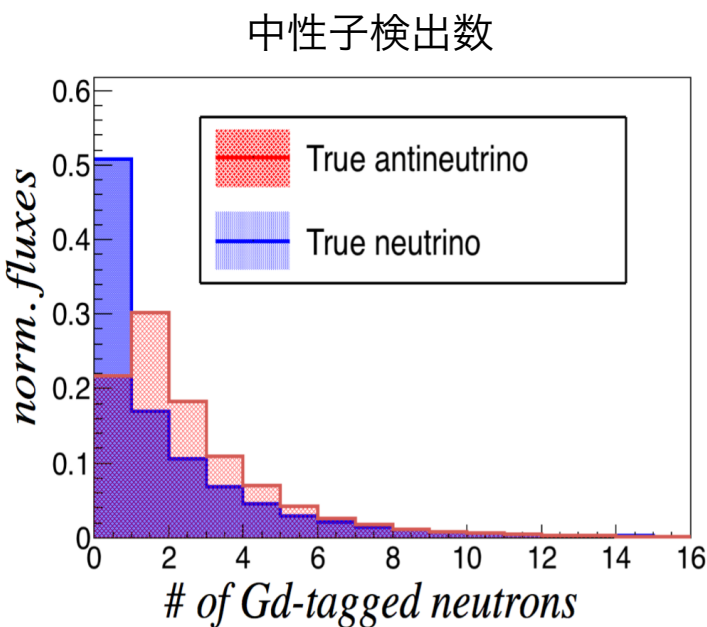
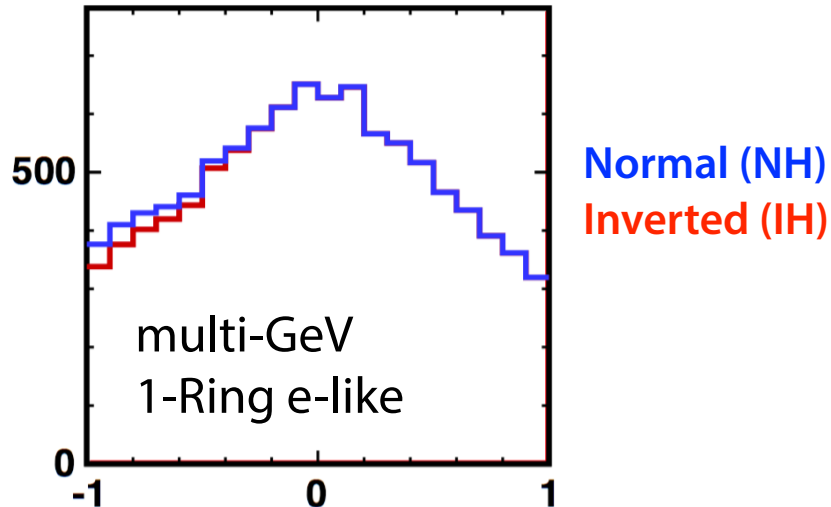
2および3の事象ではニュートリノエネルギーが低く見積もられる

→ 振動測定での系統誤差の要因

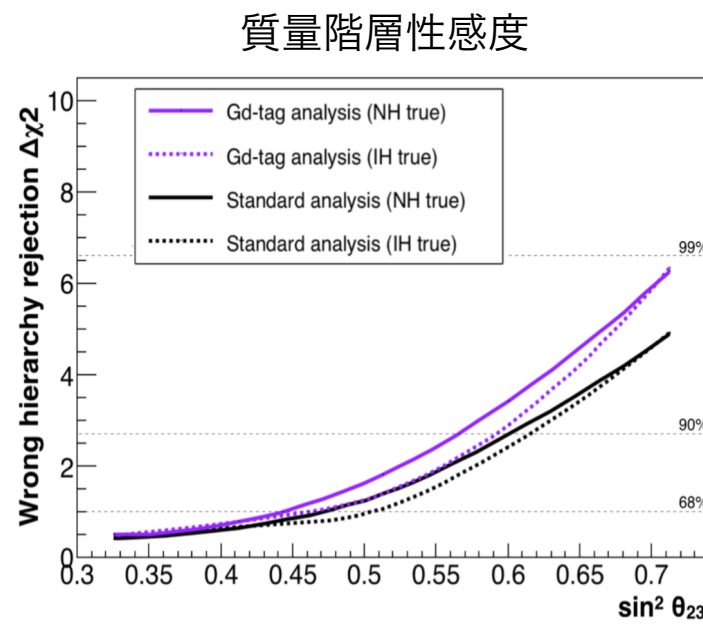


- CCQE事象選別の精度向上
- 中性子情報によるニュートリノ相互作用の理解

大気 ν 質量階層性測定へのインパクト

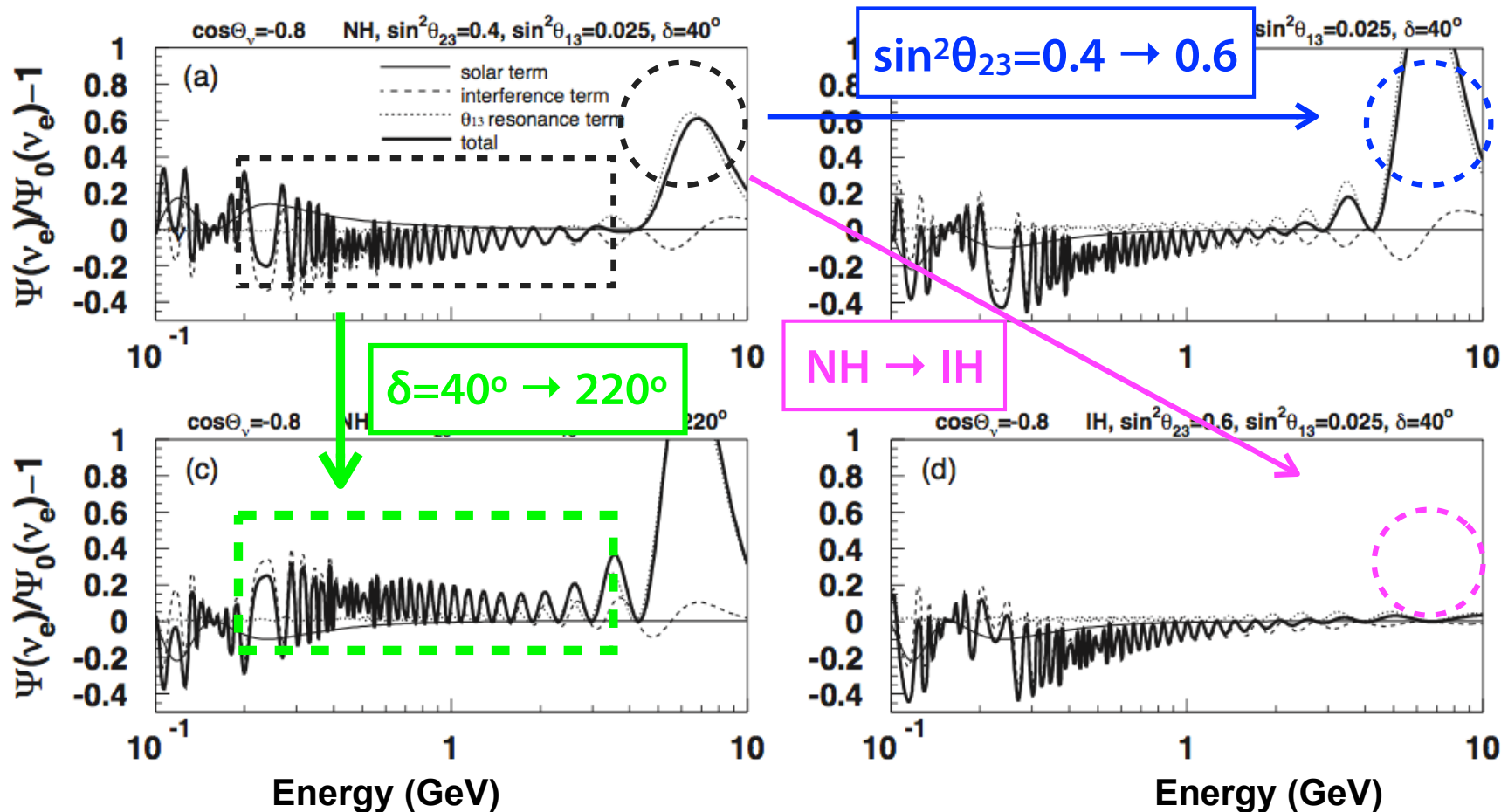


- その他：
- NCバックグラウンドの除去
 - 中性子数を考慮したニュートリノエネルギー再構成と分解能の向上



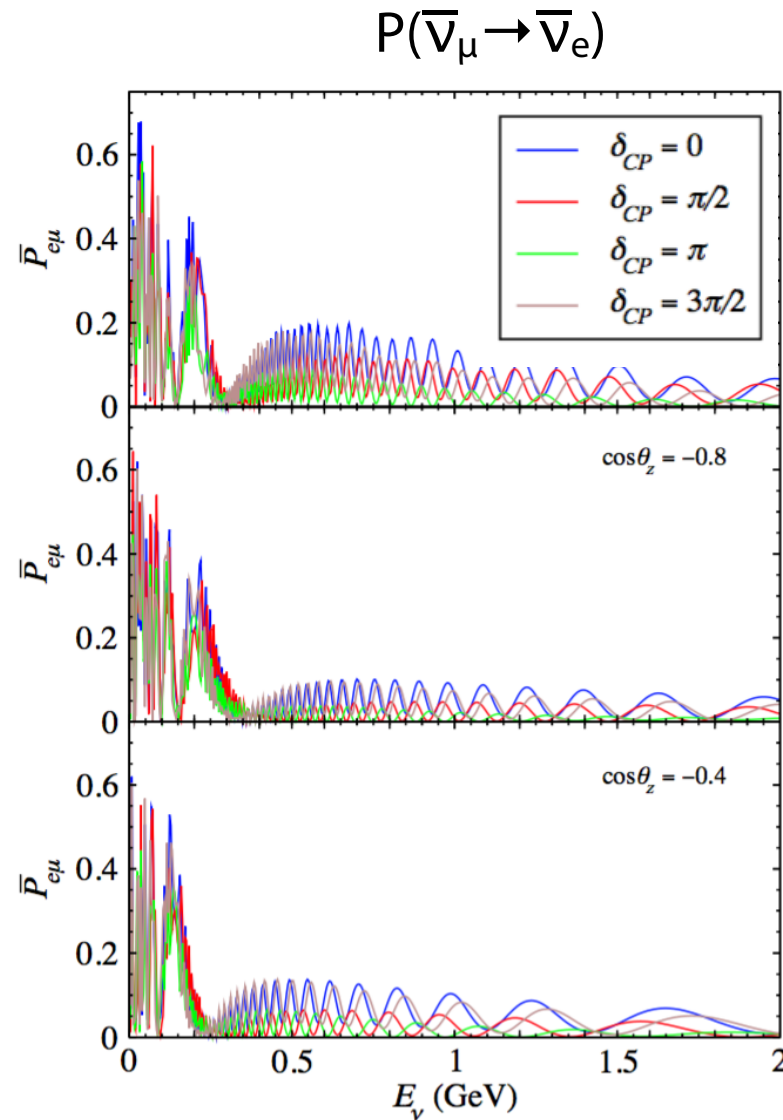
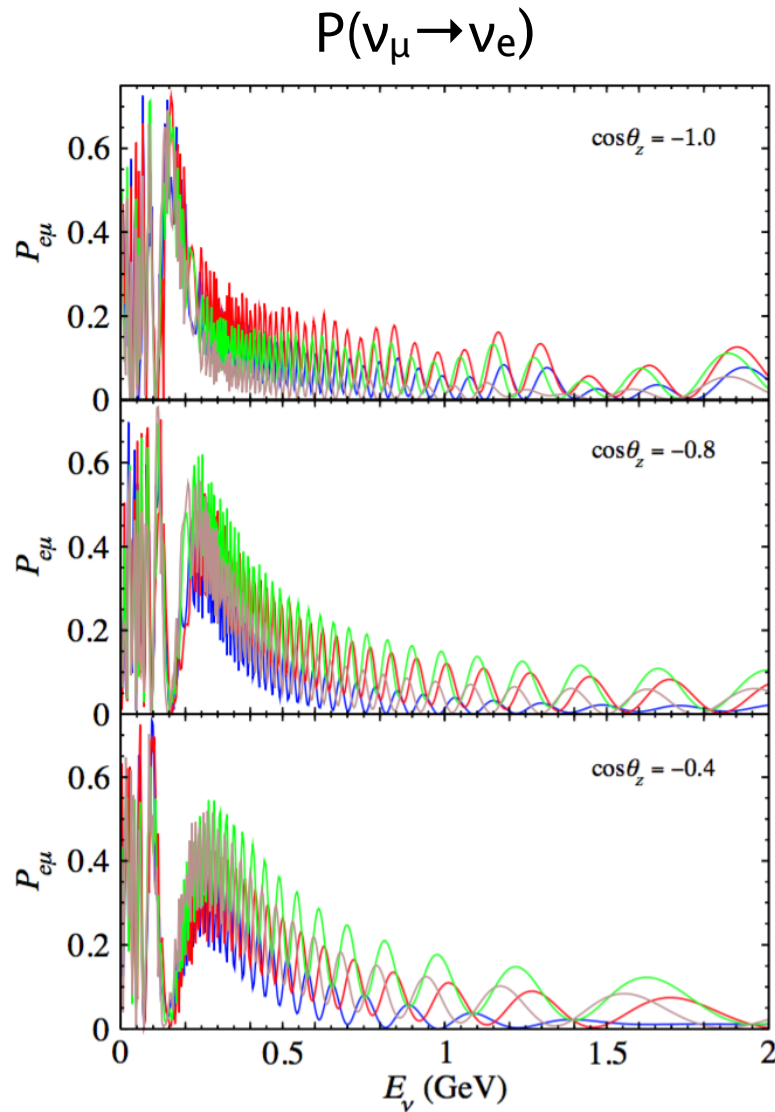
$\nu_\mu \rightarrow \nu_e$ 振動による大気 νe フラックスの変化

$$\begin{aligned} \frac{\Psi(\nu_e)}{\Psi_0(\nu_e)} - 1 &\approx P_2 \cdot (r \cdot \cos^2 \theta_{23} - 1) \\ &- r \cdot \sin \tilde{\theta}_{13} \cdot \cos^2 \tilde{\theta}_{13} \cdot \sin 2\theta_{23} \cdot (\cos \delta \cdot R_2 - \sin \delta \cdot I_2) \\ &+ 2 \sin^2 \tilde{\theta}_{13} \cdot (r \cdot \sin^2 \theta_{23} - 1), \end{aligned}$$



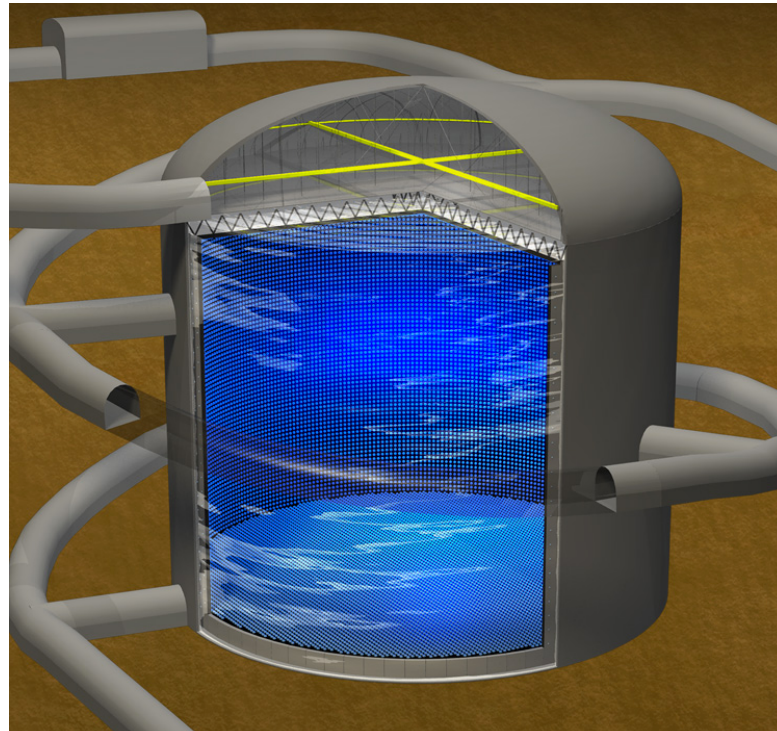
大気 ν における δ_{CP} による $\nu_\mu \rightarrow \nu_e$ 振動の変化

arXiv:1406.1407

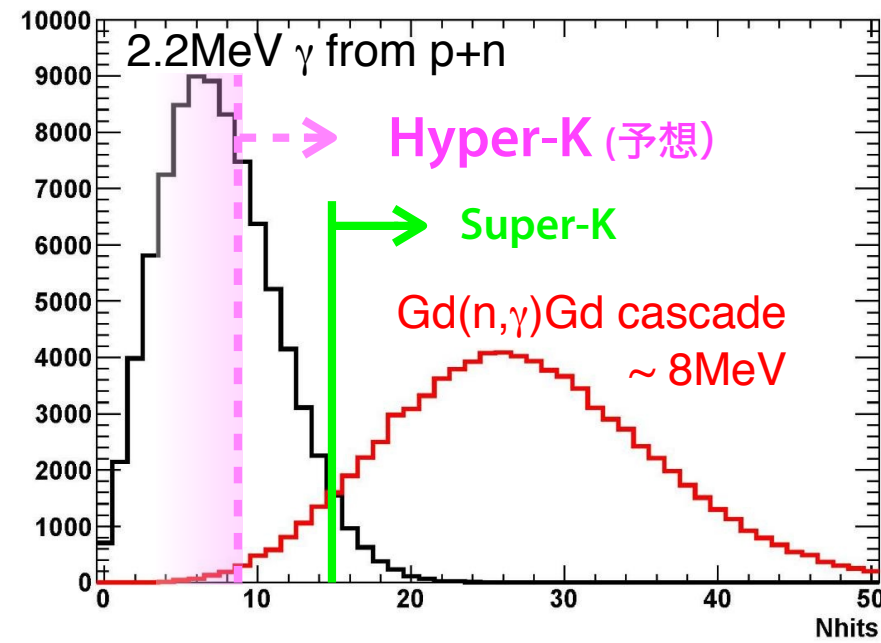
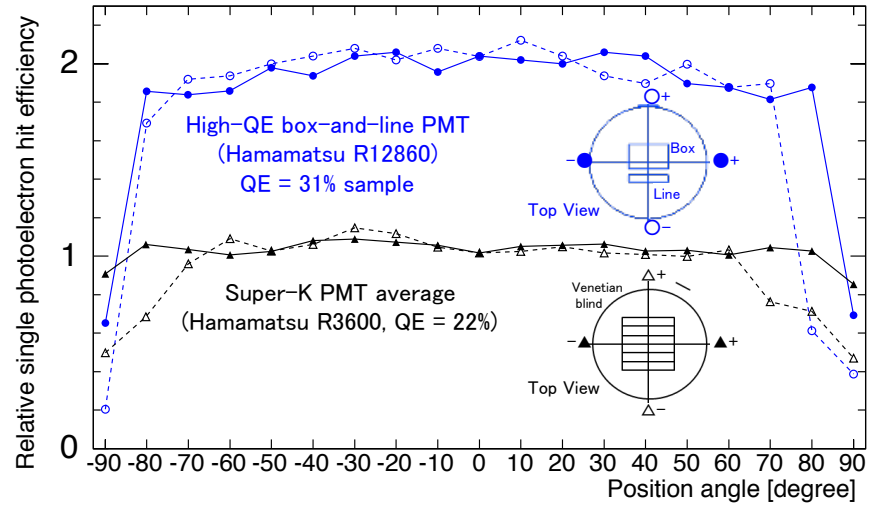


→ 大気ニュートリノでの δ_{CP} 感度向上の可能性

ハイパーカミオカンデへの応用



- 新開発 B&L PMTにより光収集効率が倍増
- n-P捕獲からの2.2 MeV ガンマ線による中性子検出効率が向上
- SK-Gdでの中性子研究はHKにも活用可能



まとめ

- CP測定
 - T2K, Nova
- Mass hierarchy
 - 大気ニュートリノ： SK、 PINGU、 ORCA、 INO
 - 加速器： Nova
 - 原子炉ニュートリノ： JUNO
- Hyper-K, DUNE, T2HKKへ
- SK-Gdによるスーパーカミオカンデ検出器の高度化